

НАЦІОНАЛЬНИЙ УНІВЕРСИТЕТ БІОРЕСУРСІВ
І ПРИРОДОКОРИСТУВАННЯ УКРАЇНИ

Факультет механіко-технологічний

НУБІП України



МАГІСТЕРСЬКА РОБОТА

на тему «Обґрунтувати основні конструкційні параметри пристрію
для покращення оглядовості робочих зон трактора класу 3»

НУБІП України

Спеціальність (напрям підготовки) 208 - «Агротехніка та технології в сільському господарстві»
(код і назва)

Керівник дипломного проекту магістра

НУБІП України

Кандидат технічних наук, доцент
(науковий ступінь та вчене звання)

Шкарівський Г. В

(підпись)

НУБІП України

Виконав

Животівський Д.Л.

(підпись)

Київ-2022

НУБІП України

НАЦІОНАЛЬНИЙ УНІВЕРСИТЕТ БІОРЕСУРСІВ
І ПРИРОДОКОГІСТУВАННЯ УКРАЇНИ

НУБІП України

Факультет механіко-технологічний

НУБІП України

ЗАТВЕРДЖУЮ
Завідувач кафедри

тракторів, автомобілів та
біоенергоресурсів,
к.т.н., доц. Чуба В.В.
«_____» 2022 р.

НУБІП України

ЗАВДАННЯ
на виконання дипломного проекту магістра студента

Животівському Денису Леонідовичу
(прізвище, ім'я, по батькові)
Спеціальність (напрям підготовки) 208 Агробінженерія
НУБІП України (код і назва)

Тема дипломного проекту «Обґрунтувати основні конструкційні параметри пристрою для покращення оглядовості робочих зон трактора класу 3»
НУБІП України
Затверджена наказом ректора НУБІП України від «1» лютого 2021 р. №
189«C»

НУБІП України

Термін подання завершеного проекту на кафедру
Вихідні дані по дипломного проекту магістратури
(рік, місяць, число)

1. Обґрунтування вибраного напрямку роботи, стан питання та завдання досліджень

2. Теоретичні дослідження умов агрегування мобільних енергетичних засобів обладнаних монтажною площадкою

3. Програма і методика експериментальних досліджень

4. Результати експериментальних досліджень та їх аналіз

5. Техніко-економічна оцінка запропонованих технічних рішень

6. Охорона праці

Дата видачі завдання «1» лютого 2021 р.

Керівник дипломного проекту магістратури

Іларівський Г.В.

(підпис)

Завдання прийняв до виконання

Животівський Д.Л.

(підпис)

НУБіП України

НУБіП України

НУБіП України

НУБІП України	Зміст
Реферат.....	6
Вступ.....	7
1 Обґрунтування вибраного напрямку роботи, стан питання та завдання досліджень.....	10
1.1. Типи сільськогосподарських агрегатів.....	10
1.2. Аналіз умов агрегатування мобільних енергетичних засобів	14
1.3. Стан питання.....	17
1.3.1. Вимоги нормативних документів щодо оглядовості вітчизняних тракторів.....	17
1.3.2. Приклади характерних варіантів оглядовості з робочого місця оператора мобільного енергетичного засобу і їх аналіз.....	19
1.3.3. Аналіз методик експериментальних досліджень оглядовості робочих зон машинно-тракторних агрегатів на базі мобільного енергетичного засобу	20
1.4. Висновки з розділу.....	23
2 Теоретичне обґрунтування параметрів розташування поста керування мобільного енергетичного засобу	25
2.1. Кінематичний аналіз оглядовості з поста керування мобільного енергетичного засобу.....	25
2.1.1. Аналіз оглядовості під час роботи МЕЗ на реверсі зі збиральними машинами.....	25
2.1.2. Аналіз оглядовості під час роботи МЕЗ в штатному режимі за умови забезпечення високих показників точності руху.....	32
2.2. Динамічний аналіз точності руху машинно-тракторного агрегату в залежності від характеристик оглядовості	42
2.2.1. Результати динамічного моделювання точності руху машинно-тракторного агрегату	42
2.3. Пошукові варіанти покращення оглядовості з поста керування мобільного енергетичного засобу тягового класу З	48
2.3.1. Аналіз конструкцій існуючих пристрій для переміщення кабін мобільних енергетичних засобів.....	49
2.3.2. Обґрунтування конструкції пристрою для переміщення кабіни... <td>53</td>	53
3. Програма і методика експериментальних досліджень.....	58
3.1. Програма робіт та об'єкти досліджень	58
3.2. Методика досліджень.....	58
3.3. Об'єкти експериментальних досліджень	59
3.4. Прилади, апаратура та обладнання для проведення досліджень ...	61
3.5. Схема дослідів та визначення кількості їх повторностей.....	62
3.6. Умови та методика проведення дослідів.....	65
3.7. Методика обробки експериментальних даних	70
3.8. Висновки з розділу	75
4. Результати експериментальних досліджень та їх аналіз	73

4.1. Перевірка відповідності нормальному закону розподілу отриманих результатів експериментальних даних	76
4.2. Аналіз результатів експериментальних даних	78
4.2.1. Аналіз результатів експериментальних даних оглядовості з постакерування мобільного енергетичного засобу.....	78
4.2.2. Результати полігонних випробувань з визначення передавальної функції підсилювальної ланки.....	82
4.3. Висновки з розділу.....	84
5 Економічна ефективність	
5.1 Методика проведення техніко-економічної оцінки	
5.2. База даних для проведення техніко-економічної оцінки та її результати...	
5.3. Висновки з розділу.....	
Загальні висновки.....	85
Список використаної літератури.....	87

НУБІП України

НУБІП України

НУБІП України

НУБІП України

Реферат

НУБІП України

Магістерська робота виконана на сторінках машинописного тексту пояснювальної записки формату А-4, що містить формули, таблиці, рисунків, джерел.

Магістерська робота присвячена підвищенню ефективності використання енергозасобів класу 3 за рахунок покращення оглядовості. В першому розділі пояснювальної записки розглянуті передумови покращення оглядовості з поста керування мобільного енергетичного засобу з аналізом умов їх впровадження.

В другому розділі проведено теоретичний аналіз впливу оглядовості а умови функціонування сільськогосподарського агрегату з визначенням основних конструктивних параметрів розташування поста керування.

В третьому розділі приведено програму і методику експериментальних досліджень. В четвертому розділі викладено результати експериментальних досліджень.

В п'ятому розділі розраховано економічну ефективність розробки.

Ключові слова: МОБІЛЬНИЙ ЕНЕРГЕТИЧНИЙ ЗАСІБ, ПОСТ КЕРУВАННЯ, ОГЛЯДОВІСТЬ, ТОЧКА ВІЗУВАННЯ, ВІЛІТ, ТОЧНІСТЬ РУХУ, ЕКОНОМІЧНА ЕФЕКТИВНІСТЬ.

НУБІП України

НУБІП України

ВСТУП

НУБІП України

Виробництво продукції рослинництва в сучасних умовах базується на використанні широкого спектру засобів механізації технологічних процесів,

основою яких є машинно-тракторні агрегати (МТА) різного призначення і

конструкції. Сьогодні на полях працюють як найпростіші одноопераційні та більш складні комбіновані багатоопераційні агрегати створені на базі мобільних енергетичних засобів (МЕЗ), так і складні і вартісні самохідні

спеціалізовані комплекси. Останнє є вагомим чинником у формуванні

собівартості кінцевої продукції сільськогосподарського виробництва, яка

істотно залежить від рівня зайнятості мобільних енергетичних засобів у

технологічних процесах та ефективності їх використання.

Актуальність теми. Сьогодні практично в усіх виробників мобільних

енергозасобів сільськогосподарського призначення спостерігається тенденція

розширення сфери використання МЕЗ за рахунок витіснення самохідних спеціалізованих машин агрегатами на їх базі, що веде до створення нових енергозасобів різних конструкцій і конструктивно-компонувальних схем [6].

Подібні підходи не завжди мали позитивний вплив на собівартість кінцевої

продукції сільського господарства в причин незадовільних умов агрегатування енергозасобів з машинами і знаряддями. Однією з причин цього явища є незадовільна оглядовість робочих зон з поста керування мобільним

енергетичним засобом. Особливо це має місце при комплектуванні збиральних

агрегатів, де оглядовість робочих органів відіграє важливе значення в подальшій роботі агрегату в полі.

Зважаючи на викладене, можна стверджувати, що має місце гостра необхідність проведення досліджень оглядовості робочих зон агрегатів, які можуть бути створені на базі мобільних енергетичних засобів

сільськогосподарського призначення, що дасть зможу ще на стадії проектування як агрегату в цілому, так і енергозасобу зокрема сконцентрувати кошти на оптимальних технічних рішеннях [14].

Зв'язок роботи з науковими програмами, планами, темами.
Вирішення необхідних питань, що розглядаються в магістерській роботі є складовою державної цільової програми реалізації технічної політики в АПК.

Мета роботи та задачі досліджень. Метою досліджень є підвищення

ефективності використання енергозасобів класу 3 за рахунок покращення оглядовості.

Для досягнення поставленої мети необхідно вирішити такі задачі:

- провести аналіз використання енергозасобів з різними способами агрегатування з технологічними модулями;

- обґрунтувати способи вдосконалення оглядовості робочих зон енергозасобу класу 3 з технологічними модулями;

- обґрунтувати і сформулювати теоретичні залежності для оцінки оглядовості з поста керування енергозасобу класу 3;

- розробити технічні рішення для покращення оглядовості з поста керування енергозасобу класу 3;

- провести експериментальні дослідження для підтвердження теоретичних побудов;

- визначити економічну ефективність використання

~~запропонованих технічних рішень.~~

Наукова новизна отриманих результатів полягає в наступному: 1 - зазначили подальшого розвитку питання теоретичних досліджень оглядовості з

поста керування енергозасобу; 2 – запропоновано варіанти розташування точки відліку для енергозасобів класу 3; 3 - проведено теоретичну і

експериментальну оцінку оглядовості з поста керування енергозасобу класу 3.

Практична значимість роботи полягає в тому, що розроблені методи теоретичних і експериментальних досліджень, пристрой для покращення умов агрегатування дозволяють вивчати і удосконалювати агрегати на базі

тракторів класу 3 і забезпечити підвищення ефективності їх використання.

Запропоновані технічні рішення можуть бути впроваджені як на заводах-виготовлювачах енергозасобів, так і в господарствах населення.

НУБіП України

Особистий висок здобувача.
Основні дослідження за темою магістерської роботи отримано особисто, постановку завдань, аналіз і синтез одержаних результатів дослідень виконано спільно з науковим керівником та науковцями ННЦ «ІМЕСГ». У технічних рішеннях частка всіх співавторів однакова.

НУБіП України

Апробація результатів магістерської роботи. Результати магістерської роботи були оприлюднені на підсумковій конференції (он-лайн) II туру Всеукраїнського конкурсу студентських наукових робіт зі спеціальності «Агроніженерія». (НУБіП Україна, 28 квітня 2021 року).

НУБіП України

Об'єкти досліджень. процес та технічні засоби для забезпечення оглядовості з поста керування енергозасобу

НУБіП України

І предмет досліджень. Параметри поста керування та розташування точки відліку енергозасобу, теоретичні та експериментальні закономірності процесу візуування з поста керування енергозасобом.

НУБіП України

Методи досліджень. Теоретичні та експериментальні з їх аналізом та комп'ютерним проектуванням. Експериментальні дослідження проводились відповідно існуючих методик і галузевих стандартів у лабораторних і польових умовах з використанням методів планування багатофакторних експериментів. Обробка та аналіз результатів експериментальних досліджень проводились з застосуванням сучасних методів математичної статистики на персональному комп'ютері з використанням прикладних програм.

НУБіП України

Публікації. За темою магістерської роботи підготовлено студентську наукову роботу та тези доповіді у співавторстві.

НУБіП України

РОЗДІЛ 1. ОБГРУНТУВАННЯ ВИБРАНОГО НАПРЯМКУ РОБОТИ, СТАН ПИПАННЯ ТА ЗАВДАННЯ ДОСЛІДЖЕНЬ

1.1 Типи сільськогосподарських агрегатів

Навісні машини та знаряддя не мають своєї ходової частини та передають всю вагу та тягове зусилля на ходову частину трактора. Прикладами підвісних машин є плуг (рис. 1.1.), навантажувач, екскаватор.

Деякі навісні машини та знаряддя, наприклад плуги, можуть мати опорні колеса, що регулюють глибину обробітку ґрунту, але на них передається лише незначна частина ваги.



Рис. 1.1. John Deere 8345R підчіплення плуга Lemken.
При фронтальній наважці машина, що агрегатується, або знаряддя розміщуються попереду трактора, наприклад бульдозерний відвал, валкова жниварка, фронтальний навантажувач (рис 1.2.).

НУ

НУ

НУ

Рис. 1.2. Фронтальний погрузчик НТН-1800 на тракторі John Deere



Рис. 1.3. Трактор Беларус-82 з дорожньою фрезою ДЕМ-121.

При бічній навішуванні машина, що агрегатується, розміщується збоку трактора. Це може бути косарка (рис. 1.4), обприскувач, канало-конатель.

НУ



Рис. 1.4. Трактор Massey Ferguson 6713 з боковою роторною косилкою Kverneland Taarup.

При задній навішуванні машина, що агрегатується, розміщується ззаду трактора. Це може бути плуг, борона, сівалка (рис. 1.5.).



Рис. 1.5. Case 530 із сівалкою СЕЛФОРД-580.

Ряд машин має комбіновану наважку. Наприклад, попереду трактора встановлюється бульдозерний відвал, а позаду - екскаваторне обладнання.

Напівнавісні (напівпричіпні) машини мають свою ходову частину, що сприймає значну частку ваги машини. Частика ваги, що залишилася, передається на ходову частину трактора. Прикладами напівнавісних машин можуть бути одновісні прицспи, підбирачі, одновісні причіпні комбайни.

Зазвичай напівпричіпні машини агрегатуються позаду трактора, але зустрічаються і машини, що агрегатуються попереду, наприклад навантажувачі коренеплодів.

Причіпні машини мають свою ходову частину, що повністю сприймає їхню вагу. Такі машини навантажують трактор лише тяговим зусиллям.

Прикладами причіпних машин є двоосові причепи, фуражирі, волокуші.

Навісна система сприймає вагу та інші сили, створювані навісною машиною та забезпечує управління її становищем. Навісні системи сучасних тракторів мають гідралічний привід і часто називаються гідронавісними.

Задня навісна система сільськогосподарського трактора зазвичай має багатоланковий важільний механізм з уніфікованими точками кріплення. Такий механізм складається з двох нижніх поздовжніх тяг, жарнірно прикріплених до кістяка трактора, одного або двох верхніх важелів, пов'язаних вертикальними тягами регульованої довжини з нижніми поздовжніми тягами,

гідроциліндра, лов'язаного з верхніми тягами і кронштейні кріплення центральної тяги.

Причіпні пристрої використовуються для агрегатування трактора з причіпними та напівпричіпними машинами. Можуть бути жорсткими та керованими. Жорсткий причіпний пристрій є гаком, кронштейном, сферичною опорою або елементом автоматичного зчеплення, закріпленім на задній частині остова трактора. Жорсткий причіпний пристрій незручний при агрегатуванні з напівпричіпними машинами, так як при зчіпці доводиться вручну піднімати дишло цієї машини. Зручніші гідрофіковані зчіпні пристрої, що дозволяють регулювати положення гака гідроциліндром.

НУВІЙ Україні

12 Аналіз умов агрегатування мобільних енергетичних засобів

Напівнавісні сільськогосподарські машини або знаряддя передають

частину своєї маси на енергозасіб через навісний пристрій або опорні платформи, елементи і т.п. Конкретне значення сільськогосподарської машини, що передається, на енергозасіб коливається, як правило, в межах від 50 до 50%. Решта маси сільськогосподарської машини розподіляється ті власні опорні елементи (найчастіше колісний хід).

Начіпні сільськогосподарські машини або знаряддя під час роботи або

транспортування можуть повністю свою масу переносити на енергозасіб, збільшуючи вертикальне навантаження на його рушій.

Головна перевага навісних машин – велика маневреність агрегату і звідси підвищена продуктивність, різноваріантність способів поворотів та розворотів наприкінці фону поля. Це зумовило масовість застосування саме цього способу агрегатування сільськогосподарських машин та знарядь.

Недоліком є складність навішування ряду машин, підвищені витрати часу на їх монтаж та демонтаж, необхідність додаткової пристосованості енергозасобу до навішування та закріплення на них сільськогосподарської

машини. Однак ці недоліки по можливості усуваються за допомогою різних конструктивних рішень, особливо у варіанті використання сільськогосподарських машин як швидкознімні та змінні адаптери.

Зблоковані з енергозасобом сільськогосподарські машини - це варіант повнонавісних на енергозасіб машин, при якому технологічна машина вмонтована в конструкцію енергозасобу і є одним з ним самохідним енерготехнологічним агрегатом.

Цей варіант агрегатування має два різновиди. Перша, коли енергозасіб і технологічна машина є єдиною конструкцією, що виготовляється на промисловому підприємстві (самохідні зерновбиральні, кормозбиральні, картоплебиральні, бурякозбиральні комбайні).

Друга - в господарство поставляється окремо сільськогосподарська машина і спеціальний енергозасіб, що вивільняється, - самохідне шасі, на яке в умовах господарства можна самостійно навісити склади сільськогосподарську машину і підключити до неї систему приводу робочих органів.

Переваги першого різновиду одноблочного агрегату ті ж, що й у будь-якої повноавтісної сільськогосподарської машини - повна автономість, підвищена маневреність і продуктивність, універсальність способів руху, а додатково можливість фронтального наважування сільськогосподарської машини, хороша її оглядовість під час роботи.

Чедолік недовикористання енергетичних та силових агрегатів одноблочної конструкції протягом року. Технологічна сільськогосподарська машина за своїм призначенням має сезонний характер навантаження., працює протягом року, як правило, в середньому не більше 200 год. протягом року після завершення сезонних робіт простояє, що з економічних позицій знижує коефіцієнт фондовіддачі [108].
У зв'язку з цим і народилася ідея енергозасобу, що вивільняється.

Незважаючи на зовні очевидні переваги в такому варіанті агрегатування

технологічної сільськогосподарської машини (річне завантаження енергозасобу може перевищувати річне завантаження сільськогосподарської машини в 2-3 рази), ця ідея майже за 60 років свого існування так і не знайшла масового застосування. В окремі роки в нашій країні і за кордоном енергозасоби, що вивільняються, з набором навісних сільськогосподарські машини випускалися навіть великими промисловими партіями. Проте цільноблочні конструкції самохідних технологічних машин все ж таки користувалися завжди великим попитом. І в даний час за масовістю застосування цільноблочних самохідних енерготехнологічних машин

займають домінуюче положення. Правда, не можна не відзначити, що в ряді країн енергозасоби, що вивільняються, знаходять застосування: у Німеччині "Унімог", Білорусії "Полісся", США - "НЕВЧІДЕА" і т.д., але в цілому по всіх

країнах потенційно економічно високоефективна інженерна технічна ідея створення енергозасобу, що вивільняється, з комплектом змінних технологічних сільськогосподарських машин, так і залишилася в обмеженому

застосуванні через ряд експлуатаційних особливостей. Аналіз багаторічної експлуатації подібних комплексів машин виявив чотири їх найістотніших недоліки [18, 30, 66, 91, 106].

Перший - тривалість і трудомісткість навішування технологічних машин на енергозасіб, особливо складних машин із великим набором робочих

органів. Різними конструктивними рішеннями іноді вдавалося дещо

нівелювати цей недолік, але в цілому по всьому набору ~~навісних машин~~ усунути цей недолік не вдалося. Тому в умовах рядової експлуатації

енергозасіб, що потенційно вивільняється, один раз зблокований з якоюсь однією машиною, так і залишався до кінця свого терміну служби з цією

машиною, перетворившись на звичайну цільноблоочну самохідну.

Тим не менш, сучасна інженерна думка, в останні роки підкріплена комп'ютерними програмами проектування, отримала значно більші можливості, ніж раніше на вибір різних принципів навішування, компонування і т.п. Спроби усунути цей перший недолік енергозасобу, що

вивільняється, активно продовжуються і, можливо, незабаром з'являться швидкостікувані, нетрудомісткі варіанти агрегатування ~~навісних сільськогосподарських технологічних машин~~. Другий недолік - підвищенні

вимоги до експлуатаційної надійності енергозасобу, що вивільняється.

Пропрацювавши з однією технологічною машиною, воно, щоб уникнути зりву інших сільськогосподарських робіт відповідно до сівозміни, має також надійно працювати з другоюальною, третьою і т.д., і в наступні роки бути готовою повторювати цей цикл. Оскільки кожна ~~навісна~~ сільськогосподарська машина впливає на конструкцію енергозасобу силовими навантаженнями, то

забезпечити рівноміцність цього енергозасобу на всіх видах робіт досить складно. Тому в нього зазадаються підвищені потужнісні, міцнісні та інші ресурси в порівнянні зі звичайною конструкцією цільноблоочного з

технологічною машиною енергосилового агрегату. Деякі розробники бачать вихід із цього становища обмеження номенклатури навісних машин, орієнтації бльш престижні технологічні машини, недобільних виконання сільськогосподарських робіт у господарському евозміні

НУБІП України

1.3. Стан питання

1.3.1. Вимоги нормативних документів щодо оглядовості вітчизняних тракторів

Ізведення досліджень з оглядовості передбачає порівняння результатів з нормативними значеннями показників.

Міждержавним стандартом ГОСТ 12.2.019 передбачено кути, які визначають оглядовість сільськогосподарського трактора – рис. 1.6 [1, 3].

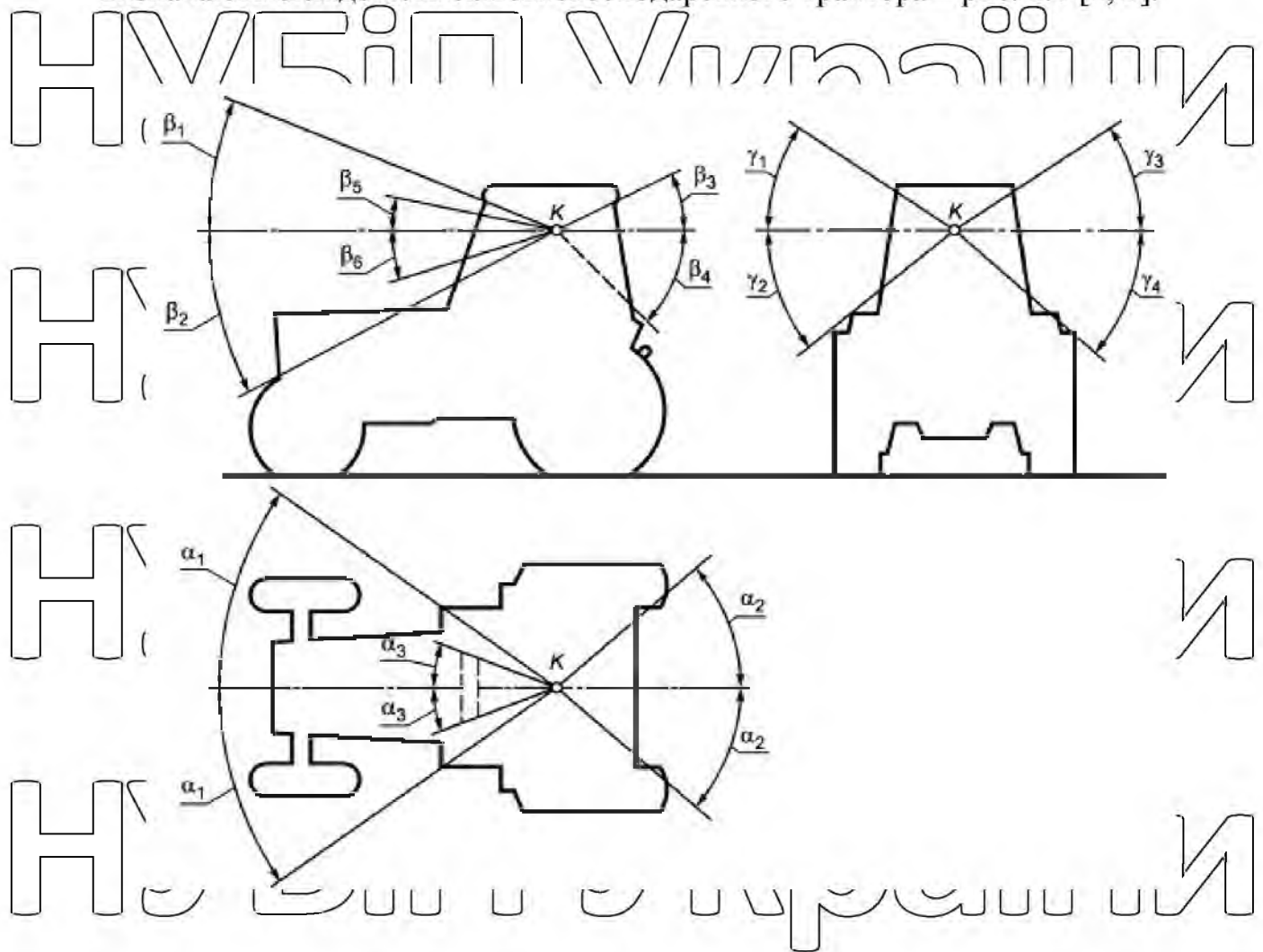


Рис. 1.6. Кути огляду з кабіни сільськогосподарського трактора [3]

НУБІЙ України

Як видно з рис. 1.1. стандарт передбачає нормування оглядовості з поста керування мобільного енергетичного засобу через кути огляду. Рекомендовані нормативними документами кути огляду через вікна сільськогосподарського трактора вказані у табл. 1.1 [1, 3].

НУБІЙ України

Таблиця 1.1

Рекомендовані значення кутів огляду через вікна сільськогосподарського

трактора [1, 3]

Зона огляду	Позначення кута огляду	Кут огляду тракторів		
		колісних тягових класів 0,6 - 2	тягових класів більше 2	гусеничних (всіх класів)
Передня	α_1	60°	60°	60°
	β_1^{**}	12°	8°	5°
Бічна	β_2	35°	35°	35°
	γ_1, γ_3 γ_2, γ_4	10° 35°	5° 25°	5° 30°
Задня	α_2	30°	30°	30°
	β_3	11°	8°	8°
Передня (через частину лобового скла, яка очищається склерочисником)	β_4^{***}	30°	30°	30°
	α_3	20°	20°	20°
	β_5	8°	5°	3°
	β_6	20°	20°	20°

* Для тракторів тягових класів 5 і вище зі зменшенням вправо сидінням кути огляду повинні бути не менше: $\alpha_1 = 60^{\circ}$; вліво; $\alpha_1 = 25^{\circ}$ вправо; $\gamma_2 = 35^{\circ}$; $\gamma_4 = 20^{\circ}$.

** Для тракторів, що виконують транспортні роботи на дорогах загальної мережі.

*** Допускається зменшення кута до 20° для тракторних самохідних щасів з розташуванням двигуна ззаду кабіни.

Приведені вимоги є загальними для тракторів, однак в науковій

літературі можна зустріти і інші варіанти оцінювання оглядовості та методики для їх вдійснення.

1.3.2. Приклади характерних варіантів оглядовості з робочого місця оператора мобільного енергетичного засобу і їх аналіз

Робоче місце оператора самохідної сільськогосподарської техніки має бути обладнане підресореним сидінням з спинкою. Для дотримання ергономічної робочої пози конструкція сидіння зі спинкою повинна забезпечувати вільне розміщення оператора та мати регулювання положення сидіння, забезпечувати регулювання положення сидіння у горизонтальному та вертикальному напрямках, регулювання жорсткості підресорювання підвіски сидіння залежно від маси оператора, а також регулювання кута нахилу спинки сидіння. Сидіння в кабіні самохідної сільськогосподарської техніки, за винятком кабін самохідних сільськогосподарських машин, мають бути оснащені ременями безпеки.

Кабіни самохідної сільськогосподарської техніки повинні бути забезпечені футляром для аптечки першої медичної допомоги, пристроями для кріплення термоса або іншої ємності для питної води, для верхнього одягу оператора та місця для зберігання експлуатаційної документації. Також кабіни мають бути обладнані пристроєм, що захищає особу оператора від прямих

сонячних променів.

Конструкція самохідних сільськогосподарських для сидячих на робочому місці оператора машин має забезпечувати огляд наступних об'єктів:

- простору робочих зон; зон, що забезпечують безпеку водіння;
- робочих органів, які потребують візуального контролю під час виконання технологічного процесу;
- зон вивантаження технологічного продукту на транспортний засіб;
- елементів конструкції сільськогосподарської техніки, що служать для навіщування та зчіпки з машинами та знаряддями, необхідними для виконання технологічного процесу та що знаходяться у робочому положенні;

– габаритних точок сільськогосподарської техніки, необхідних її управління, зокрема маркера.

Для самохідних сільськогосподарських машин кутчи огляду через вікна кабін повинні забезпечувати огляд у процесі руху.

Кабіни самохідної сільськогосподарської техніки, яка може переміщатися у транспортному потоці, мають бути обладнані зовнішніми дзеркалами заднього виду ліворуч і праворуч. Допускається обладнати кабіни зовнішнім дзеркалом заднього виду лише зліва.

Сільськогосподарські колісні та гусеничні трактори повинні бути сконструйовані та обладнані таким чином, щоб час дорожнього руху та сільськогосподарських робіт у оператора було достатнє поле огляду у всіх звичайних умовах дорожнього руху та роботи в поль.

1.3.3. Аналіз методик експериментальних досліджень оглядовості робочих зон машинно-тракторних агрегатів на базі мобільного енергетичного засобу

Мобільний енергетичний засіб – багатофункціональна машина, в процесі використання якої діяльність людини здійснюється за двома напрямами, а саме: - забезпечення експлуатації власне енергетичного засобу; - забезпечення виконання технологічної операції, або технологічного процесу.

Відповідно до цього в роботі [4] розрізняється технічна і технологічна експлуатація МЕЗ. Піднята в даній роботі проблема відноситься до технологічної експлуатації МЕЗ, яка на сучасному етапі ще не достатньо вивчена, що обумовлює необхідність використання нових підходів у дослідженнях енергозасобів і агрегатів на їх базі, включаючи і оглядовість робочих органів [11].

Сьогодні відомі роботи, які констатують вимоги до зон оглядовості енергозасобів, виходячи з фізіологічних особливостей людини та з урахуванням втомленості оператора [2]. Однак тут відсутні методики

проведення оцінювання показників оглядовості в реальних умовах експлуатації машин.

В роботах [12] та [13] проаналізовані діючі методики та приведені вдосконалені варіанти методик оцінювання оглядовості на стадії проектування та випробування сільськогосподарських тракторів і машин.

Однак, не зважаючи на вдосконалення, викладені в цих роботах методики достатньо загратні з точки зору затрат часу та і обладнання, яке передбачено використовувати.

Зокрема в роботі [13] розглядається методика оцінювання параметрів оглядовості машин на стадії їх проектування, яка досить детально розроблена на кафедрі нарисної геометрії і креслення Харківського національного технічного університету сільського господарства імені Петра Василенка (ХНТУСГ) і добре зарекомендувала себе при оцінці оглядовості таких машин, як Т-150км, СШ-28 і ін.

Тут же дано аналіз діючих методик. Зокрема вказано, що на стадії державних випробувань дослідних зразків нових машин використовується широко відомий світлотіньовий спосіб, при якому в точку огляду поміщається джерело світла, а на горизонтальній площині обводиться падаюча тінь усіх

елементів кабіни і машини в цілому. Потім на тіньовий картині перевіряється відповідність отриманих параметрів оглядовості їх нормативним значенням.

До недоліків цього способу слід віднести наступне: трудомісткість

такого способу; наявність спеціального приміщення; невисока точність визначення параметрів; неможливість оцінки параметрів оглядовості з урахуванням бінокулярного зору, що ставить під сумнів використання такого способу на практиці.

На наш погляд, як найбільш доцільним, досить точним і не трудомістким способом оцінки параметрів оглядовості машин на стадії їх випробувань може

бути фотографічний спосіб з подальшою графоаналітичною обробкою знімків. Для цієї мети необхідно використання спеціальних стерео-

панорамних фотокамер, аналогічних розробленої на кафедрі нарисної геометрії ХНТУСГ (А.С. 702865 (ССР). Панорамная стереофотокамера).

За допомогою такої камери, розташованої в точці огляду кабіни, проводиться кругова фотозйомка, в результаті якої виходить стереопанорамне зображення в куті зору 360° . Потім, безпосередньо на негативах або

на збільшених відсітках виробляють необхідні виміри, а по ним - відповідні розрахунки параметрів оглядовості машини з робочого місця оператора.

До числа найбільш характерних властивостей оглядовості відносяться

горизонтальні і вертикальні кути огляду, а також значення величин, що затулюють тінєй від елементів кабіни на колі радіуса 12 м, розташованого на площині стояння машини, співвісно з точкою огляду.

Всі перераховані параметри можуть бути визначені за вказаними вище стерео-панорамним знімкам. Спрощену геометрична схема апарату для отримання таких зображень фотографічним методом представлена на рис. 2.1.

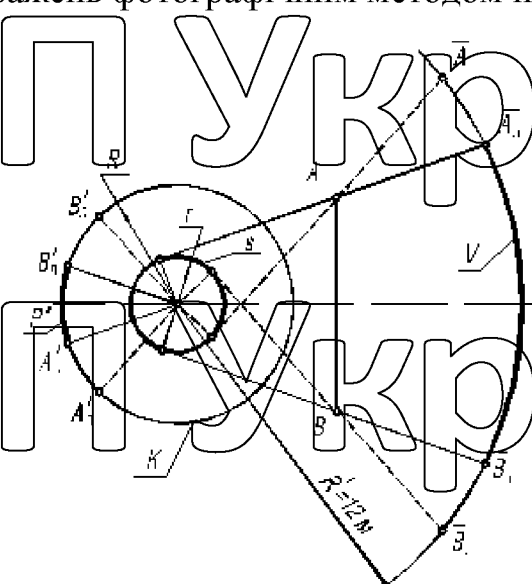


Рис. 21 Спрощену геометрична схема апарату для отримання зображень фотографічним методом

Подібні методики, на нашу думку, доцільно використовувати тоді, коли

необхідно оцінити отриманість лише з урахуванням елементів енергозасобу.

У роботі [10] запропоновано проводити оцінювання оглядовості робочих органів збиральних машин з допомогою коефіцієнта оглядовості, який має вигляд:

$$K = 1 - \frac{S_{\text{НЗ}}}{S_B}, \quad (1.1)$$

де K - коефіцієнт оглядовості;

S_B - площа бажаної зони огляду оператора обмежена горизонтальною

площиною, яка проходить через точку відліку (очі оператора) і похилою площиною, в якій розміщується промінь нижньої межі оптимальної зони

оглядовості [2], мм^2 ,

$S_{\text{НЗ}}$ - площа невидимої зони оператора (обриси тіні) вузлів і агрегатів енергозасобу), яка є складовою бажаної зони S_B , мм^2 .

Використання запропонованої залежності не дає можливості оцінити

оглядовість робочих органів збиральної машини, які потребують візуального контролю, а лише констатують розмір вільної для оглядовості зони, де теоретично можуть розташуватись такі робочі органи без урахування умов агрегування.

Таким чином, з приведених робіт важко встановити де повинні

розташуватися як очі оператора, так і пост керування (кабіна) енергозасобу для того, щоб забезпечити задовільну оглядовість робочих органів збиральних машин, або якими параметрами повинні володіти складові агрегату з метою забезпечення задовільної оглядовості робочих органів, які потребують візуального контролю.

1.4. Висновки з розділу

В результаті проведеного аналізу встановлено:

1. Машинно-тракторні агрегати сільськогосподарського призначення потребують забезпечення задовільної оглядовості робочих органів з поста керування енергозасобом.

2. Машинно-тракторні парки сільськогосподарських підприємств повинні мати високоуніверсальні енергозасоби з розвиненими пристроями для агрегатування.

3. З метою зниження собівартості продукції сільського господарства потрібно розширити сферу використання мобільних енергетичних засобів за рахунок використання їх у складі збиральних агрегатів.

4. Для забезпечення використання мобільних енергетичних засобів в якості бази для створення збиральних агрегатів необхідно підвищити показники їх оглядовості до рівня характерного спеціалізованим самохідним

машинам.

5. Оглядовість з поста керування енергозасобу повинна забезпечуватись в зоні окресленій кутом нахилу променя зору оператора 15° від горизонтальної лінії, яка проходить через точку відліку (очі оператора).

НУБІП України

НУБІП України

НУБІП України

НУБІП України

РОЗДІЛ 2. ТЕОРЕТИЧНЕ ОБГРУНТУВАННЯ ПАРАМЕТРІВ РОЗТАШУВАННЯ ПОСТА КЕРУВАННЯ МОБІЛЬНОГО ЕНЕРГЕТИЧНОГО ЗАСОБУ

2.1. Кінематичний аналіз оглядовості з поста керування мобільного

НУБІП України

Використання мобільного енергетичного засобу (МЕЗ) у складі

машинно-тракторного агрегату передбачається у двох варіантах побудови

таких агрегатів, а саме:

- агрегат, який передбачає роботу мобільного енергетичного засобу (МЕЗ) на реверсі (збиральні агрегати з начинними технологічними модулями, навантажувальні агрегати тощо);
- агрегат, який передбачає роботу МЕЗ у штатному режимі (агрегати для основного, передпосівного обробітку ґрунту, сівби, догляду за культурами тощо).

НУБІП України

Аналіз оглядовості з поста керування мобільним енергетичним засобом

доцільно проводити з урахуванням саме цих двох варіантів побудови агрегатів

з тим, щоб обґрунтувати оптимальне технічне рішення щодо пристрою для покращення оглядовості робочих зон МЕЗ.

2.1.1. Аналіз оглядовості під час роботи МЕЗ на реверсі зі збиральними машинами

НУБІП України

Аналіз оглядовості робочих зон агрегату будь-якої конструкції

зводиться до побудови зображення променя зору, який виходить з точки

відліку **K** (очей оператора) з подальшою оцінкою зорової доступності зон, які потребують візуального контролю під час роботи агрегату даного типу і

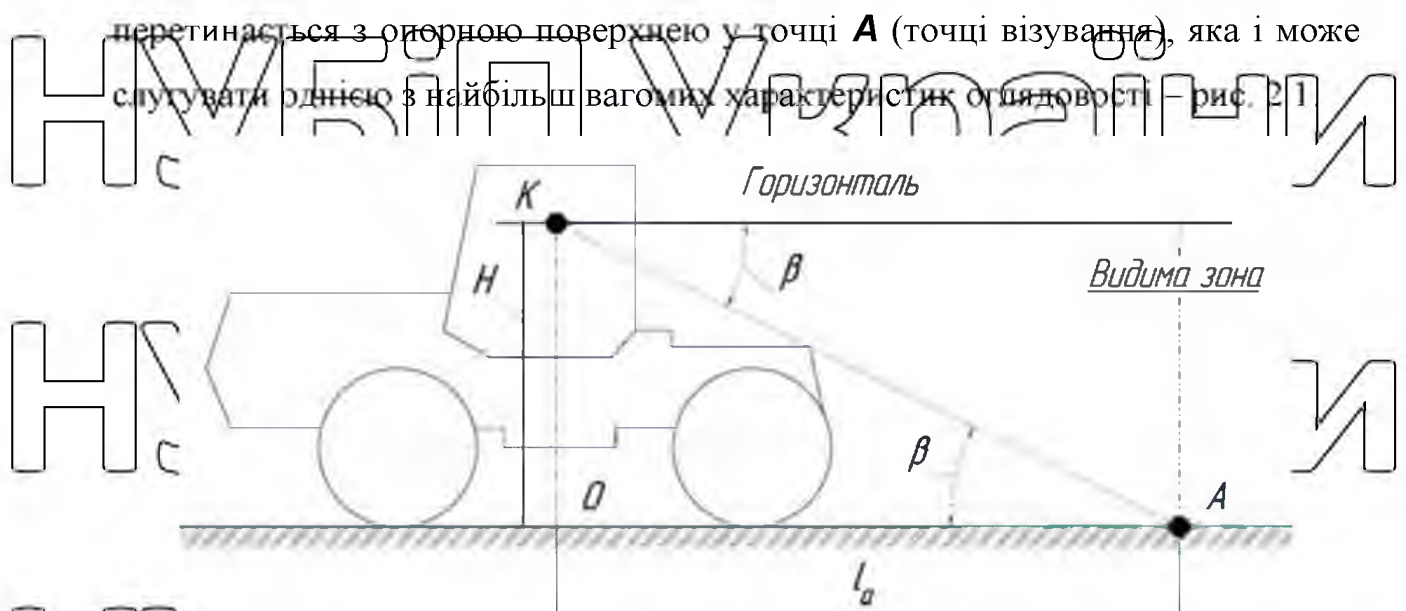


Рис. 2.1. Розрахункова схема для визначення вильоту точки візування під час використання енергозасобу на реверсі [10, 11]

Експлуатація мобільних енергетичних засобів і агрегатів на їх базі вимагає значних психологічних та фізичних навантажень на оператора, що впливає на рівень втомлюваності останнього, а, звідien, і на показники ефективності виконання технологічних операцій через зниження продуктивності праці та створення аварійних ситуацій за умов значного втомлення. Особливо це характерно для збиральних агрегатів, які створені на базі МЕЗ через проблеми з агрегатуванням останніх (рис. 2.2).



НУВІП України

Рис. 2.2. Збиральний агрегат на базі трактора типу ХТЗ-16131
Вивчення і оптимізація умов роботи оператора лежить в площині питань,

якими займається наука ергономіка. Стосовно проблем, висунутих в даній роботі, це питання оглядовості робочих зон оператора. В роботі [2] вказано, що мінімального втомлення під час візуального контролю за роботою об'єктів спостереження оператор буде зазнавати за умови, якщо зона оглядовості буде окреслена горизонтальною площею, яка проходить через точку відліку (очі оператора) і площею, яка також проходить через точку відліку і опущена вниз від горизонтальної площини на 30° . Промінь, який виходить з точки відліку перетинає опорну поверхню в точці А, яку будемо називати точкою візуування. Точка А найближче розташована до агрегату і її задовільно спостерігає оператор з допустимим фізіологічним навантаженням. Стосовно МЕЗ, який працює в складі збирального агрегату, зона оглядовості робочих органів машини буде визначатись з наступних міркувань (див. рис. 2.1).

Використання МЕЗ у складі збирального агрегату з начинним технологічним модулем передбачається на реверсі. В такому випадку зона розташування робочих органів технологічного модуля, які потребують

візуального контролю окреслюється горизонтали, яка проходить через точку відліку К і променем, який виходить з точки відліку К і проходить через точку візуування А (точку перетину променя зору з опорною поверхнею). Згаданий вище промінь KA може проходити також через точки, або лінії, які характеризують обриси енергозасобу.

Для схеми зображені на рис. 2.1 характерні наступні співвідношення:

$$\frac{H}{l_a} = \tan \beta, \quad (2.1)$$

звідки

$$l_a = \frac{H}{\tan \beta}, \quad (2.2)$$

де H – висота розташування точки відліку К (очей оператора), м; l_a – відстань від точки візуування А до горизонтали, яка проходить через точку візуування А, м;

β – кут нахилу променя зору, який показує нижню межу зони оглядовості оператора, град.

Аналіз залежностей (2.1) (2.2) вказує на те, що кут β нахилу променя K_A , який характеризує нижню межу зони оглядовості оператора і виліт точки візуування l_a прямо пропорційні висоті H розташування точки відліку K . Зважаючи на те, що кут нахилу нижньої межі зони оглядовості β , для забезпечення мінімальної відомлюваності оператора не повинен перевищувати 30^0 [2], можна стверджувати, що забезпечити задовільну оглядовість робочих органів з дотриманням вимог ергономіки досить складно. Це пояснюється тим, що висота розташування точки відліку сучасних МЕЗ істотно перевищує 2 метри, в той час, як кожен метр висоти забезпечує мінімальний розмір вильоту точки візуування на рівні 1,73 м (розрахунок проведено для кута $\beta=30^0$), що, в кінцевому випадку, для реального агрегату забезпечить виліт точки візуування не менше 3,5 м. Така відстань істотно перевищує аналогічні показники для спеціалізованих самохідних машин, тим самим істотно погрічути, а іноді і унеможливлюючи оглядовість робочих органів, в чому і полягає одна із проблем в агрегатуванні МЕЗ з начіпними збиральними машинами (рис. 2.3).



Рис. 2.3. Оглядовість робочих органів жатки кормозбирального комбайна на базі ХТЗ-16131

Крім того, з аналізу рисунків 2.2 і 2.3 можна прогнозувати, що дія кормозбирального агрегату на базі трактора ХТЗ-16131 кут β буде набувати значень менших за 30° , що істотно збільшує виліт точки візування і погіршує оглядовість робочих органів комбайна.

Крім того, незадовільна оглядовість робочих органів також підсилюється і конструктивними елементами самої збиральної машини (задня вертикальна стінка жатки, мотовило тощо) – рис. 2.3, що потребує окремого дослідження. У зв'язку з викладеним, нами проведеною теоретичні і експериментальні дослідження, які дозволили отримати залежності для оцінювання показників, що впливають на оглядовість робочих органів збирального агрегату на базі МЕЗ.

Умова задовільного огляду точки візування A (рис. 2.4), за наявності задньої стінки жатки збиральної машини загрегованої на задньому начинному пристрій трактора типу ХТЗ-16131, для роботи збирального агрегату на реверсі буде визначатися з певних міркувань.

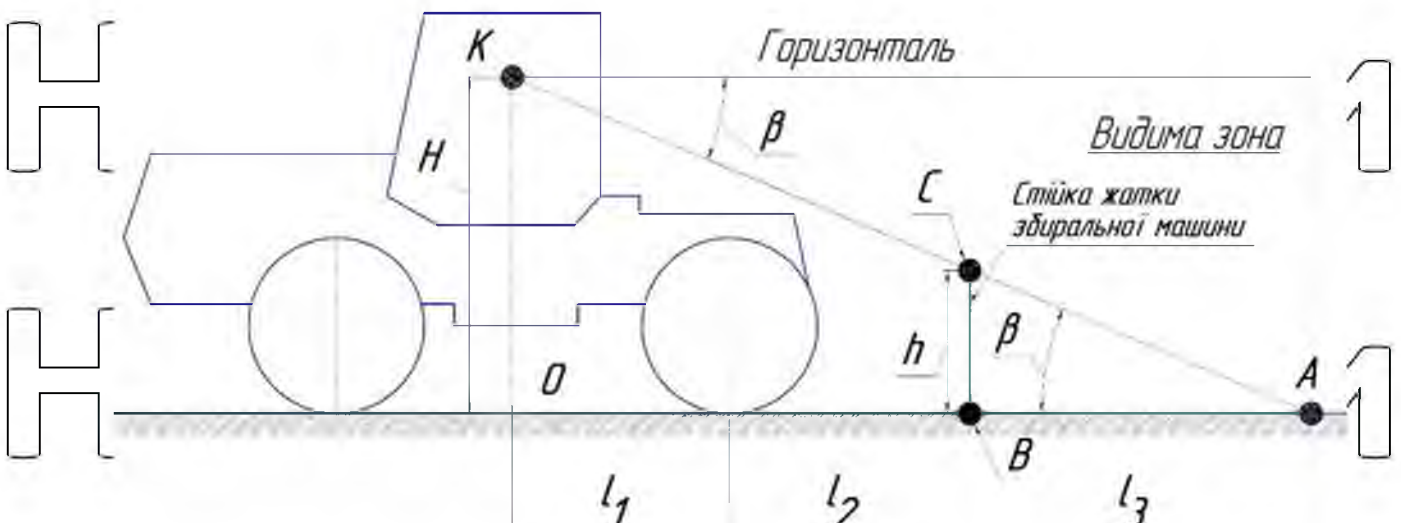


Рис. 2.4. Розрахункова схема для дослідження висоти і розташування вертикальної стінки жатки на оглядовість робочих органів [1].

В основу цих міркувань покладено те, що точка А буде видимою за умови, коли проекція вертикальної стінки жатки у поздовжньо-вертикальній площині буде перетинати промінь зору, який відтворює нижню межу зони оглядовості.

Названий промінь нахищений до горизонту під кутом β , який, для забезпечення мінімального втомлення оператора, може складати 30° . З метою досягнення мінімального втомлення оператора проекція вертикальної стінки жатки повинна розташуватись на деякій відстані l_2 від осі заднього моста енергозасобу (див. Орис. 2.4) таким чином, щоб точка С не перевищувала променя KA.

Для визначення необхідної висоти задньої стінки жатки збиральної машини скористаємося подібністю трикутників AKO та ACB. За таких умов можемо записати:

$$\frac{[KO]}{[OA]} = \frac{[CB]}{[BA]}, \quad (2.3)$$

$$[CB] = \frac{[KO] \times [BA]}{[OA]}. \quad (2.4)$$

Після заміни позначень сторін у залежності (3.40) характерними відстанями отримаємо:

$$h = \frac{H \times l_3}{l_a}, \quad (2.5)$$

або

$$h = \frac{H \times l_3}{l_1 + l_2 + l_3}, \quad (2.6)$$

де h – висота задньої стінки жатки збиральної машини, м;

H – висота розміщення точки відліку K (очей оператора) над опорною поверхнею, м;

t_a – відстань від точки візування (відстань від вертикальної проекції точки відліку K на горизонтальну площину до точки візування),

l_1 – відстань від вертикальної проекції точки відліку K (точки розташування очей оператора) на горизонтальну площину до вертикальної проекції осі заднього моста на ту ж площину;

l_2 – відстань від проекції осі заднього моста на горизонтальну площину до вертикальної проекції задньої стінки жатки на ту ж площину;

l_3 – відстань від вертикальної проекції задньої стінки жатки на горизонтальну площину до точки візуування A .

Відрізок l_3 визначає розмір невидимої зони жатки (або інших елементів

збиральної машини, які потребують візуального контролю) і для оцінювання

показників оглядовості з поста керування енергозасобу має істотне значення. Зменшення розміру невидимої зони жатки, тобто зменшення

розміру відстані l_3 , вказує на покращення показників оглядовості і навпаки, збільшення відстані l_3 – погіршення показників оглядовості. В такому випадку

доцільно вирішити залежність (3.6) відносно l_3 і встановити фактори, які на неї впливають.

Після групування подібних членів залежності (2.6) отримаємо:

$$h \cdot (l_1 + l_2) = l_3 \cdot (H - h),$$

Звідки

$$l_3 = h \left(\frac{l_1 + l_2}{H - h} \right).$$

(3.7)

Використовуючи рис. 3.4 можемо записати:

$$\frac{l_1 + l_2}{H - h} = \cot \beta = \frac{1}{\tan \beta}. \quad (2.8)$$

Після підстановки отриманої залежності (2.8) у залежність (2.7) отримаємо:

$$l_3 = \frac{h}{\tan \beta}. \quad (2.9)$$

Таким чином найкращих показників оглядовості можна досягти за

умови повної відсутності невидимої зони жатки, тобто якщо $l_3 = 0$. Досягти

цього можна за умови рівності нулю чисельника виразу (2.9), тобто повністю

прирати (зробити прозорою) задню стінку жатки, що мало вірогідно, на

даному етапі, для конструкцій реальних збиральних машин. В такому випадку досягти бажаних показників оглядовості, які обумовлюються значенням $l_3 = 0$ можливо шляхом максимального збільшення знаменника виразу (2.9), тобто коли $\tan \beta = \infty$, що реалізується за умови $\beta = 90^\circ$ і досягається розташуванням точки відліку K безпосередньо над задньою стінкою жатки.

Таким чином, отримане теоретичним шляхом бажане значення кута β відрізняється від дозволенного, згідно з вимог ергономіки і рівного 30° . Однак, як показує практика конструювання самохідних збиральних машин посткерування останніх розташовують безпосередньо в зоні задньої стінки жатки, або інших робочих органів, які потребують посиленого візуального контролю.

Останнє істотно впливає на компонувальну схему самохідної збиральної машини.

2.1.2. Аналіз оглядовості під час роботи МЕЗ в штатному режимі за умови забезпечення високих показників точності руху

Такий режим роботи МЕЗ найбільш поширений і повинен бути обов'язково проаналізований для найбільш вимогливого в цьому плані агрегату. Таким агрегатом, серед названих вище, є просапний агрегат, точність руху робочих органів якого в залежності від вильоту точки візуування A [14].

Вплив характеристик оглядовості, виражених вильотом точки візуування, проведено на математичній моделі запропонованій у роботі [14].

2.1.2.1. Обґрутування вимог до точності руху

На рис. 2.5 наведена схема руху просапного машинно-тракторного агрегата (МТА) уздовж рядка рослин P , що виконує функцію базисної кривої.

Дотримуючись роботи (Пожидаев, 1984), для обґрунтування вимог до точності руху МТА виділимо три характерні точки, кожна з яких, в загальному випадку, може бути геометричною. У якості першої приймемо точку A_0 трактора, яку

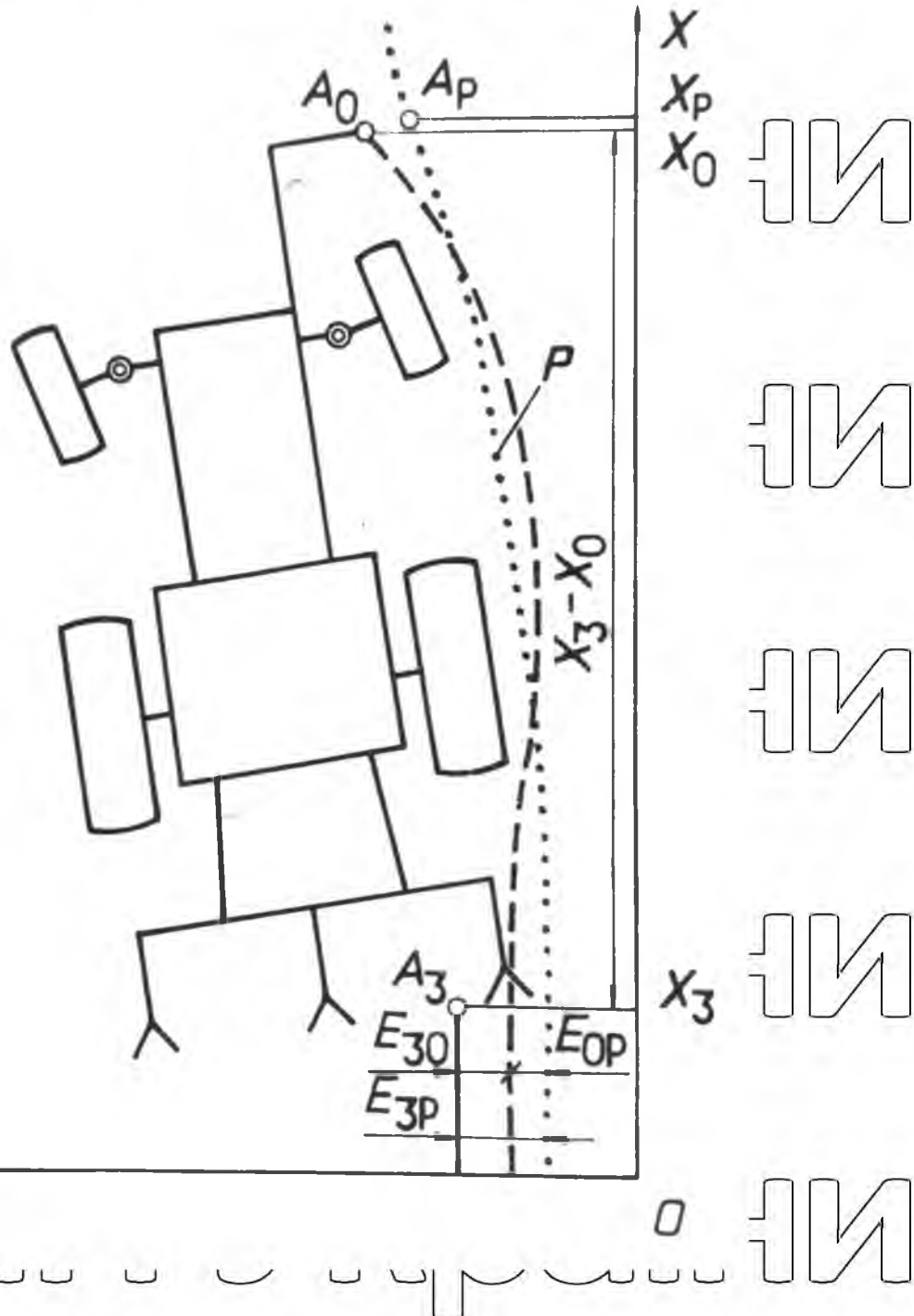


Рис. 2.5. Схема руху просапного машинно-тракторного агрегату вздовж

рядка рослин [14]

водій в процесі руху агрегату намагається поєднати з рядком P . Друга точка A_3 - належить робочій машині. Її положення виберемо так, що при строго прямолінійному руху агрегату, яке виконується при співадлінні точки A_0 з абсолютно прямим рядком P , з ним співпадає і точка A_3 . Точкою A_P позначимо елементарний ділянку рядка P , з якою (ділянкою) водій прагне поєднати точку A_0 трактора в поточний момент часу. В процесі руху точка A_P переміщається одночасно з агрегатом уздовж рядка P . Її траекторія визначається конфігурацією рядка рослин і може бути описана рівнянням [14]:

$$Y_P = Y_P^{X_P} \approx Y_P^{X_0},$$

де верхні індекси вказують на значення поздовжньої координати X , для якої взяті значення бічних координат Y .

У цей час точки A_0 і A_3 агрегату також описують деякі траекторії, а саме [14]:

$$\begin{aligned} Y_0 &= Y_0^{X_0} \\ Y_3 &= Y_3^{X_3}. \end{aligned}$$

В такому випадку помилка копіювання рядка рослин P точкою A_3

агрегату може бути представлена як функція бічних координат траекторій перерахованих точок [14]:

$$E_{3P}^{X_3} = Y_3^{X_3} - Y_P = (Y_3^{X_3} - Y_0^{X_3}) + (Y_0^{X_3} - Y_P^{X_3}) = E_{30}^{X_3} + E_{0P}^{X_3}, \quad (2.10)$$

де $Y_3^{X_3}$, $Y_P^{X_3}$ і $Y_0^{X_3}$ - бічні координати траекторій точок A_3 , A_P і A_0

відповідно, взяті при одному і тому ж значенні поздовжньої координати $X=X_3$,

$E_{30}^{X_3} = Y_3^{X_3} - Y_0^{X_3}$ - помилка відпрацювання точкою A_3 агрегата траекторії

точки A_0 , взята при $X=X_3$, мм;

$E_{0P}^{X_3} = Y_0^{X_3} - Y_P^{X_3}$ - помилка відстеження конфігурації рядка рослин точкою візуування A_0 (помилка управління), взята при $X=X_3$, мм [14].

Причому досвід експлуатації показує, що при роботі начиних агрегатів помилка копіювання $E_{3P}^{X_3}$ спостерігається навіть тоді, коли помилка відстеження $E_{0P}^{X_3}$ дорівнює нулю. Це дає підставу дослідити, в першу чергу, вплив помилки відпрацювання $E_{30}^{X_3}$ на розмір помилки копіювання. З урахуванням спiввiдношення [14]

$Y_0^{X_3} \approx Y_P^{X_3}$,
що випливає із згаданої вище умови [14]

$$E_{0P}^{X_3} = Y_0^{X_3} - Y_P^{X_3} = 0,$$

похибка відпрацювання може бути записана у вигляді [14]:

$$E_{30}^{X_3} = Y_3^{X_3} - Y_P^{X_3}, \quad (2.11)$$

Для дослідження впливу згаданої помилки на точність руху агрегату введемо в розгляд фактичну передавальну функцію агрегату щодо точки A_3 (вихідний сигнал) по траекторії точки A_P (вихідний сигнал) [14]:

$$W_a^\Phi(p) = \frac{Y_3^{X_3}(p)}{Y_P^{X_3}(p)}, \quad (2.12)$$

де $Y_3^{X_3}(p)$ і $Y_P^{X_3}(p)$ - бічні координати траекторій точок A_3 і A_P , взяті при значеннях поздовжньої координати X , яка дорівнює відповідно X_3 і X_0 , в зображеннях Лапласа [14];

p - оператор диференціювання,

$$p = \frac{d}{dt}$$

З її використанням бічні координати траекторії точки A_3 , які входять у вираз (2.11), можуть бути подані у вигляді функцій від бічних координат точки A_P [14]:

$$Y_3^{X_3}(p) = Y_P^{X_0}(p) \times W_a^\Phi(p). \quad (2.13)$$

У вираз (2.11) входить ще й величина $Y_P^{X_3}$, яка може бути подана у вигляді функції від $Y_P^{X_0}$. Ці величини характеризують собою бічні координати

двох елементарних ділянок однієї і тієї ж лінії, рознесених між собою на відстань [14]:

НУБІП України

$$X_3 - X_0$$

Таким чином, в процесі руху агрегату значення бічної координати $Y_P^{X_3}$

повторюють значення $Y_P^{X_0}(p)$ з запізненням у часі, яке дорівнює [14]:

НУБІП України

де V - швидкість руху агрегату, м/с.

Це дає можливість отримати наступну функціональну залежність (в зображеннях Лапласа) [14]:

НУБІП України

$$Y_3^{X_3}(p) = Y_P^{X_0}(p) \times e^{-\tau p}, \quad (2.14)$$

де $e^{-\tau p}$ - передавальна функція ланки чистого запізнення.

Завдяки співвідношенням (2.13) і (2.15) вираз (2.11) може бути записано в зображеннях Лапласа наступним чином [14]:

НУБІП України

$$E_{30}^{X_3}(p) = (W_a^0(p) - e^{-\tau p}) \times Y_P^{X_0}(p). \quad (2.15)$$

Співвідношення (2.16) дає оцінку похибки відпрацювання як в амплітудній, так і в фазовій областях.

Але для обґрунтування вимог до точності руху МТА необхідним і достатнім є подання похибки відпрацювання лише в амплітудній області, в зв'язку з чим перейдемо до розгляду амплітуду похибки (Попов, 1978) [14]

$$A_E = |W_E(p)| \times a, \quad (2.17)$$

де A_E - амплітуда похибки $E_{30}^{X_3}$ відпрацювання агрегатом рядка рослин, м;

НУБІП України

$W_E(p)$ - передавальна функція агрегату за похибкою в зображеннях Лапласа;

a - амплітуда входного сигналу, м.

Передавальна функція агрегату за помилкою може бути визначена

діленням похибки відпрацювання (2.16) на величину входного сигналу $Y_P^{X_0}(p)$ [14]:

$$W_E(p) = F_{30}^{X_3}(p) \quad V_P^{X_0}(p) = W_a^\Phi(p) - e^{-\tau p} \quad (2.18)$$

В такому випадку співвідношення (2.17) набуде вигляду [14]:

$$A_E = |W_a^\Phi(p) - e^{-\tau p}| \times a. \quad (2.19)$$

Звідси, якщо задатися допустимим значенням амплітуди помилки $A_{\text{доп}}$, формулюється обґрунтована вимога до точності руху агрегату вздовж рядків оброблюваних рослин. Вона має вигляд [14]:

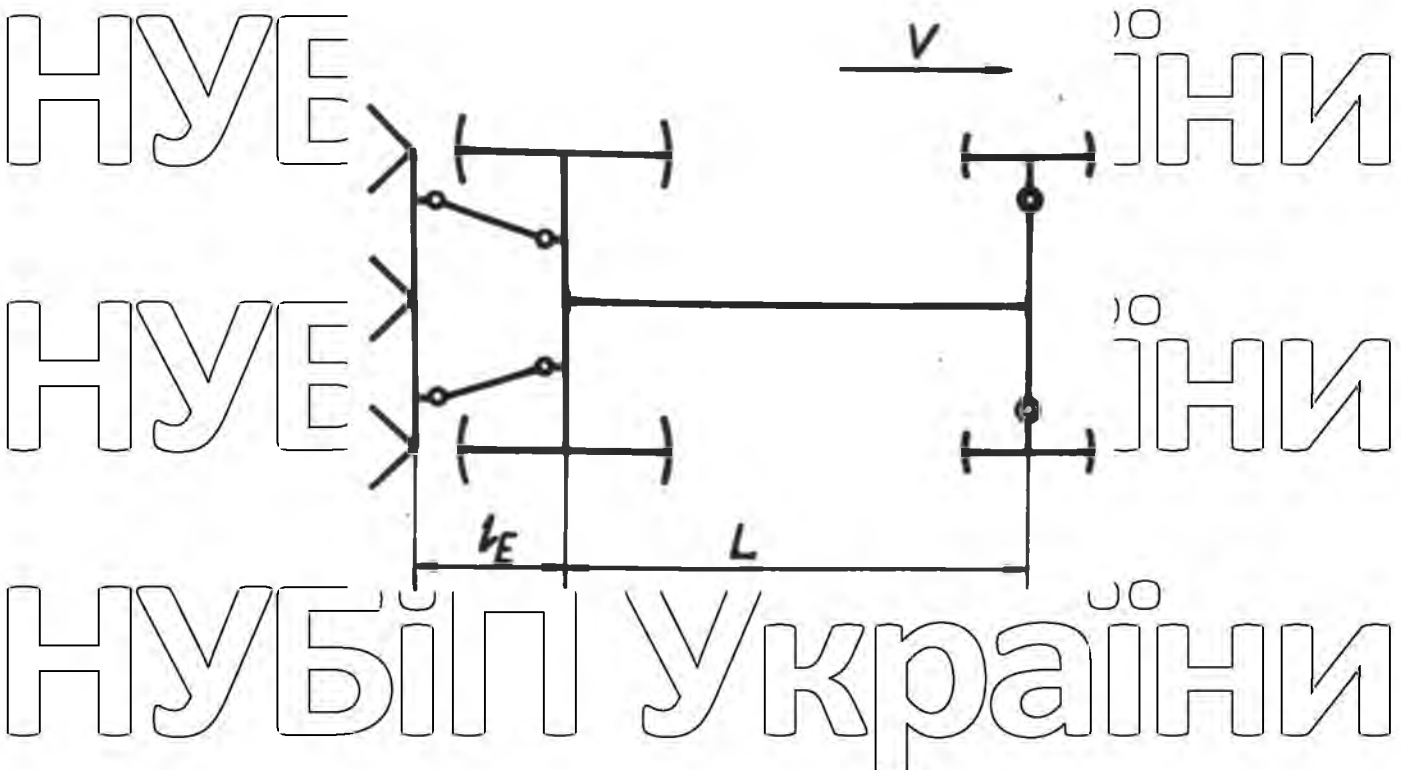
$$|W_a^\Phi(p) - e^{-\tau p}| \leq \frac{A_{\text{доп}}}{a},$$

або, що одне і те ж [14]:

$$|W_a^\Phi(p) - e^{-\tau p}| \leq \frac{A_{\text{доп}}}{a} \leq 0. \quad (2.20)$$

В співвідношення (2.20) входить фактична передавальна функція агрегату, вид якої залежить від конструктивно-компонувальної схеми використаного трактора.

На рис. 2.6. представлена конструктивно-компонувальна схема агрегату з задньонанійним технологічним модулем [4].



НУБІП України

Рис. 2.6. Схема просапного агрегату з задньоочіпним технологічним

модулем [14]

Для сими, представленої на рис. 2.6 характерна наступна передавальна

функція агрегату [14]:

$$W_a^\Phi(p) = \frac{(-L_e/V) \times p + 1}{[(L/V) \times p + 1]} \quad (2.21)$$

З огляду на вираз (2.12) і те, що $Y_p^{X_3} \approx Y_0^{X_3}$ необхідно ввести до розгляду

і виліт l_a точки візування A_0 від осі переднього моста трактора [14].

Оскільки у агрегатів створених на базі трактора класичного компонування з передніми керованими колесами відхилення остова трактора

і точки візування A_0 , яка також жорстко прив'язана до остова трактора, будуть

характеризуватися одним курсовим кутом, то в передавальні функції агрегатів, що належать цим групам, замість значення L необхідно представити величину

$$L + l_a = L - \text{рис } 2.7 [14].$$

НУБІП України

НУБІП України

НУБІП України

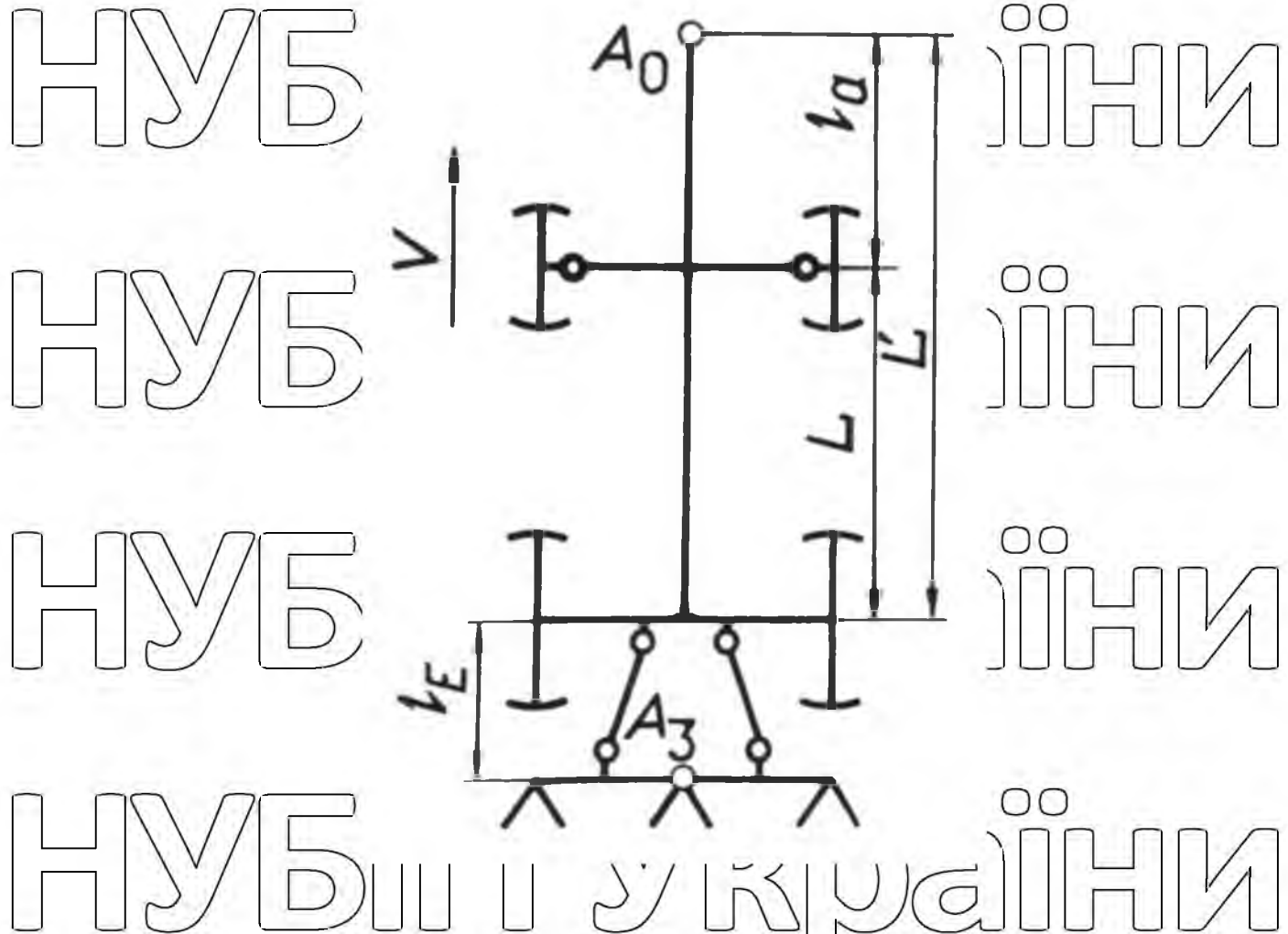


Рис. 2.7. Компонувальна схема просапного агрегату з урахуванням вильоту точки візуування [14]

В такому випадку передавальна функція просапного агрегату на базі трактора класичного компонування з передніми керованими колесами (рис. 2.7) набуде вигляду (Пожидаев, 1980) [14]:

У такому разі вираз (2.21) прийме вигляд [14]:

$$W_a^d(p) = \frac{[(l_E/v) \times p + 1]}{[(l_v/v) \times p + 1]} \quad (2.22)$$

Дослідження точності руху просапного агрегату з урахуванням

обґрутованої раніше вимоги до точності руху (2.20) і передавальної функції

(2.22) наведено нижче.

2.1.2.2. Дослідження точності руху просапних агрегатів методами кінематики

НУБІП України

Дослідження проводилося з використанням частотної характеристики агрегату, отриманої шляхом цифрового моделювання.

Проведені на рівні кінематики теоретичні дослідження точності руху для названих вище трьох груп просапних агрегатів показали наступне [14].

Агрегати створені на базі тракторів класичної компонувальної схеми (рис. 2.8) забезпечують якісну роботу тільки при викривленні рядків, які

характеризуються хвильовими числами до 0,57 рад/м (при $L > 2$ м і $t = 1,0$). Це

стосується тракторів типу МТЗ, ПМЗ, ХТЗ-161 (за умови, що візування також буде здійснюватися по передньому колесу), а також інших аналогічої

конструктивно-компонувальної схеми з таким же вильотом точки візування відносно заднього моста трактора. Збільшення вильоту точки візування

призводить до зниження значення верхньої межі хвильових чисел гармонійних викривлень рядків, які задовільно копіюються агрегатом.

Потрібно також відзначити, що ці показники отримані за найбільш сприятливих умов: амплітуда допустимої помилки копіювання рядка рослин

НУБІП України

НУБІП України

НУБІП України

НУ

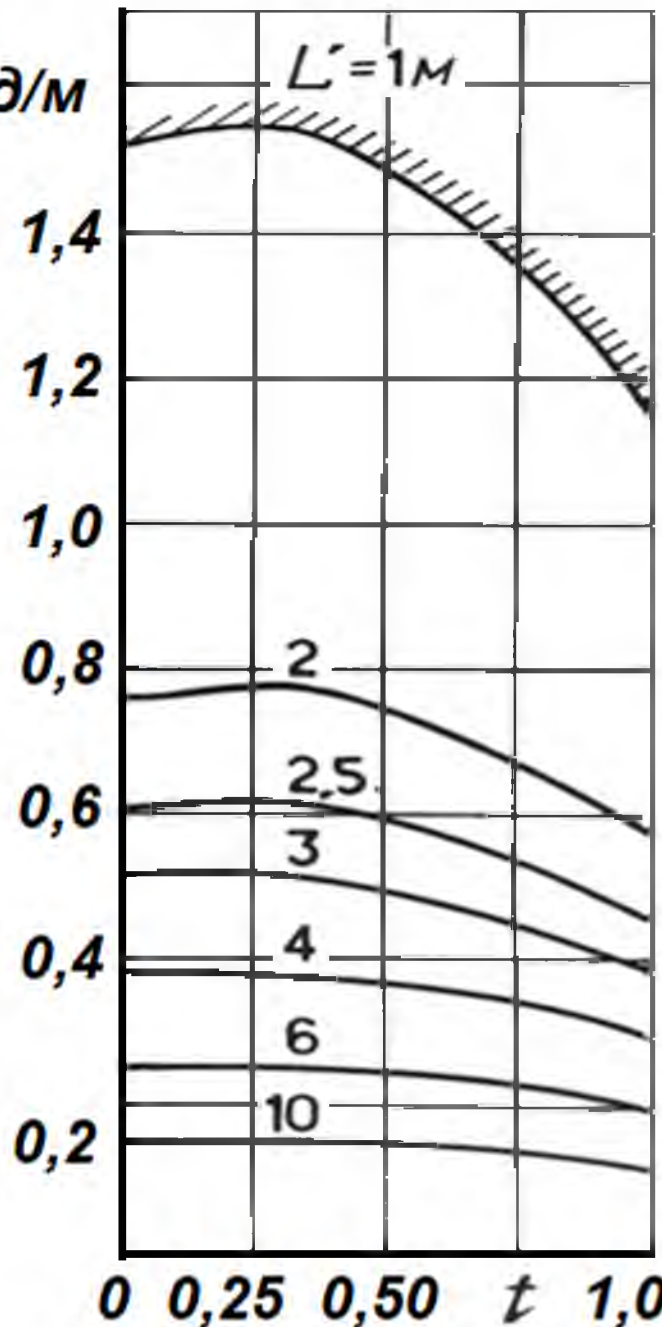
k, рад/м

НУ

НУ

НУ

НУ



НУ

Рис. 2.7. Характеристика точності руху вздовж рядків робочин [14]

Адопт прийнята рівною 0,03 м, хоча, згідно з агротехнічними засадами, це значення

визначається інтервалом 0,02 ... 0,03 м; амплітуда вхідного сигналу a

приймалася нами рівною 0,05 м (за допустимою амплітудою відхилення

стикового межядія), хоча, судячи з роботи Дворнова (1959), вона може мати

на практиці значення від 0,05 до 0,20 м. Аналізуючи вираз (2.20) можемо

відзначити, що зменшення $A_{\text{доп}}$ або ж збільшення a сприяє зниженню верхньої межі хвильових чисел гармонійних складових викривлень рядків рослин, які задовільно копіюються тим чи іншим агрегатом.

Таким чином, в результаті дослідження кінематики руху просапних агрегатів на базі тракторів різних компонувальних схем встановлено, що трактори, які випускаються серійно не здатні в повній мірі задовільнити існуючі вимоги до точності їх руху вздовж рядків рослин, однак цей висновок зроблений на рівні кінематики і може бути відкинутий в результаті досліджень динаміки руху просапного агрегату.

2.2. Динамічний аналіз точності руху машинно-тракторного агрегату в залежності від характеристик оглядовості

Для виконання досліджень точності руху скористаємося роботою (Пожидаев, 1984), де розроблене універсальне рівняння для опису руху просапного агрегату на базі тракторів різних конструктивно-компонувальних схем та конструкцій. Таке універсальне рівняння складено для трактора з шарнірною рамою таким чином, що при висуванні вимог до конструкції (довжини) того чи іншого елемента, його вагових характеристик теж можна варіювати комонтуванням агрегату і досліджувати різні комонтуальні схеми агрегатів. Назване рівняння має вигляд:

$$W_{30}(p) = \frac{[D_{11}(p) - l_E D_{21}(p)]}{[D_{11}(p) + l_2 \cdot D_{21}(p) + l_1 \cdot D_{21}(p) + l_a \cdot D_{21}(p) + l_1 \cdot D(p) + l_a \cdot D(p)]} \quad (2.23)$$

де $D(p)$, $D_{ik}(p)$ - відповідно головний і допоміжні визначники диференційного рівняння, вони визначаються в такий спосіб:

$$\begin{aligned} \mathbf{D}(p) &= \begin{vmatrix} a_{11}(p) & a_{12}(p) \\ a_{21}(p) & a_{22}(p) \end{vmatrix}; & \mathbf{D}_{12}(p) &= \begin{vmatrix} 0 & a_{12}(p) \\ 1 & a_{22}(p) \end{vmatrix}. & (2.24) \\ \mathbf{D}_{11}(p) &= \begin{vmatrix} b_{11}(p) & a_{12}(p) \\ b_{21}(p) & a_{22}(p) \end{vmatrix}; & \mathbf{D}_{21}(p) &= \begin{vmatrix} a_{11}(p) & 0 \\ a_{21}(p) & 1 \end{vmatrix}. \\ \mathbf{D}_{21}(p) &= \begin{vmatrix} a_{11}(p) & b_{11}(p) \\ a_{21}(p) & b_{21}(p) \end{vmatrix}; & \mathbf{D}_{21}(p) &= \begin{vmatrix} a_{11}(p) & 0 \\ a_{21}(p) & 1 \end{vmatrix}. \end{aligned}$$

НУБІП України
Детальний виклад шляху отримання передавальної функції (2.23)
наведено в дод. А.

Оскільки вираз (2.23) являє собою фактичну передавальну функцію агрегату, яка входить в отриману раніше вимогу до точності руху просапного агрегату (2.20), то вона (вимога) може бути переписана у вигляді:

$$\frac{[D_{11}(p) - l_E \cdot D_{21}(p)]}{[D_{11}(p) + l_2 \cdot D_{21}(p) + l_1 \cdot D_{21}(p) + l_a \cdot D_{21}(p) + l_1 \cdot D(p) + l_a \cdot D(p)]} e^{-\tau p} - A_{\text{доп}}/a \leq 0. \quad (2.25)$$

НУБІП України
Отриманий вираз (2.25) є вимогою до точності руху просапного агрегату, створеного на базі трактора з інерційною рамою, з урахуванням динамічних факторів, що діють на агрегат в процесі його руху на гоні.

Обчислення головного $\mathbf{D}(p)$ і допоміжних $\mathbf{D}_{11}(p)$ і $\mathbf{D}_{21}(p)$ визначників, що входять в передавальну функцію (2.23) і вираз (2.25) проводилося за допомогою співвідношень (2.24) і наступних підстановок (Пожидаєв, 1984):

$$\begin{aligned} a_{11}(p) &= M \cdot V^2 \cdot p^2 + K \cdot p; & a_{12}(p) &= B \cdot V^2 \cdot p^2 + L \cdot p - K; \\ a_{21}(p) &= E \cdot V^2 \cdot p^2 + L \cdot p; \\ a_{22}(p) &= D \cdot V^2 \cdot p^2 + \Phi + D_1 + D_2 + (\frac{D}{\varepsilon} - B) \cdot V^2 \cdot p; \\ b_{11}(p) &= G \cdot V^2 \cdot p^2 - X \cdot p + C; \\ b_{21}(p) &= E \cdot V^2 \cdot p^2 [Y + D_1 - G \cdot V^2] \cdot p + J. \end{aligned} \quad (2.26)$$

а також

НУБІП України

$$\begin{aligned}
 K_1 + K_2 + K_3 &= K; & K_1 \cdot L - K_3 \cdot l_E &= L; \\
 K_1 \cdot l_1 &= X; & K_1 + R_{\Pi_1} &= C; \\
 K_1 \cdot L^2 + K_3 \cdot l_E^2 &= \Phi; & L(R_{\Pi_1} + K_1) + l_E(R_{\Pi_3} - K_3) &= \Theta; \\
 K_1 \cdot L \cdot l_1 &= Ю; & L(R_{\Pi_1} + K_1) &= Я; \\
 M_1 + M_2 + M_3 &= M; & I_1 + I_2 + I_3 + M_1 \cdot m_1^2 + M_2 \cdot m_2^2 + M_3 \cdot m_3^2 &= Д \\
 M_1 \cdot m_1 + M_2 \cdot m_2 + M_3 \cdot m_3 &= Б; & M_1 \cdot m'_1 &= Г; \\
 I_1 + M_1 \cdot m_1 \cdot m'_1 &= Е
 \end{aligned} \quad (2.27)$$

НУБІП України
 Оскільки оператор $p = jk$, то реалізований на ПК типу IBM алгоритм моделювання характеристик точності руху просапних агрегатів (див. дод. Г) полягав в обчисленні значень дійсних Re і уявних Im частин рівнянь (2.24),

(2.26) і (2.23), передавальної функції ланки частого запізнювання $e^{-\tau p}$, модуля передавальної функції за помилкою $W_E(p)$, відношення $A_{\text{доп}}/a$. Значення параметрів для моделювання вихідних даних приймалися згідно з роботі (Пожидаев, 1984) і приведені в табл. 2.1.

НУБІП України
 2.2.1 Результати динамічного моделювання точності руху машинно-тракторного агрегату

НУБІП України
 Потім, обчислювалися значення хвильового числа k , в функції величини t , що задовільняють вимогу до точності руху. Розрахунки проводилися для швидкостей руху агрегату 1,52, 1,95 і 2,38 м/с. Верхня межа інтервалу швидкостей, які досліджувалися обумовлений виходячи з досвіду роботи зі швидкісними тракторами і сільськогосподарськими машинами, який показує, що водій не в змозі тривалий час забезпечувати необхідну якість виконуваної операції вже на швидкостях 8 ... 9 км/год, а для міжрядного обробітку ця межа знаходиться на рівні 6 ... 8 км/год (Евстратов, Тамиров, 1962).

НУБІП України
 Для побудови характеристик точності руху просапного агрегату, що складається з колісного трактора тягового класу з передніми керованими колесами (трактор ХТЗ-120, ХТЗ-16131 або трактор згідно з авт. свід.

Таблиця 2.1

НУБІП України

Значення вихідних даних для моделювання характеристик точності руху просаних агрегатів

Показник	Позначення	Значення
Маса, кг	M_1 M_2 M_3 m_1 m_2 m_3 m'_1 I_1 I_2 I_3	5300 2800 1370 2,57 0,09 1,99 1,19 6285 1985 9040
Координати центру мас, м		
Момент інерції, кг·м ²		
Сили тяги ведучих мостів, Н	R_{Π_1} R_{Π_2} R_{Π_3}	11860 8140 20000
Тяговий опір робочої машини, Н	D_1 D_2 D_{13}	191000 129700 3,53
Коефіцієнт, Н/м ²	ε'	1,00
Коефіцієнт, Н/рад	K_1 K_2 K_3	81400 74200 50400
Амплітуда допустимої похибки копіювання рядка рослин, м	$a_{\text{доп}}$	0,03
Амплітуда вхідного сигналу, м	a	0,05

№1532408) і культиватора КРН-8,4, в раніше складений алгоритм моделювання характеристик точності руху було введено: $l_1 = 0$ м, $l_2 = 2,86$ м,

$l_a = 0$ м, допоміжні величини $\Gamma = 0$ і $E = 0$, а величина D_1 приймалася рівною

нулю тільки при обчисленні уявної частини комплексного числа b_{21} (тільки для Т-150К з передніми керованими колесами і ХТЗ-120, ХТЗ-16131).
Отримані при цьому характеристики точності руху (для всіх трьох

агрегатів), мало відрізняються між собою і представлені на рис. 2.8. Вони також дуже мало залежать від швидкості, внаслідок чого їх можна не враховувати.

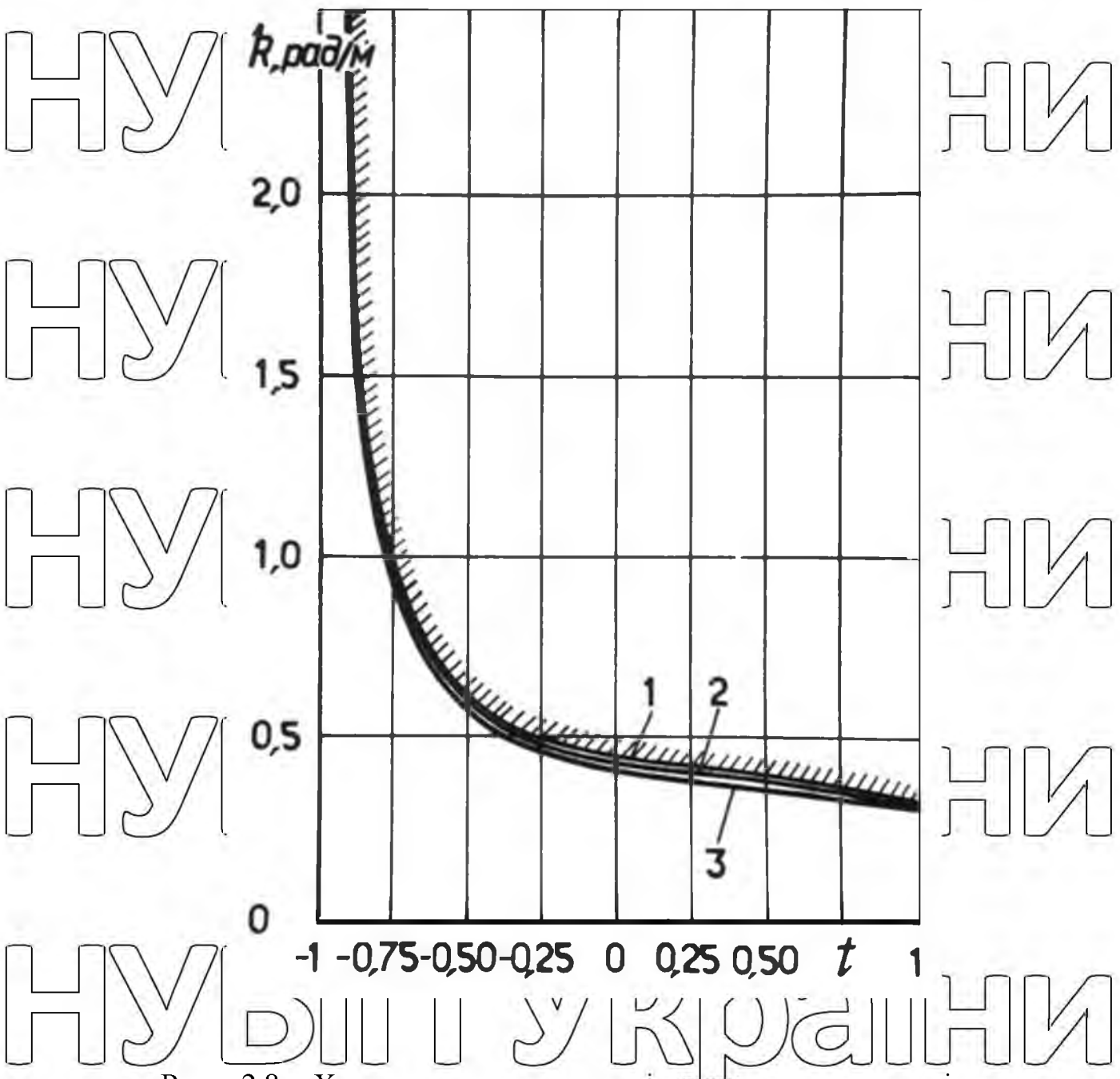


Рис. 2.8. Характеристика точності руху вздовж рядків рослин

просапного агрегату на базі трактора Т-150К, з передніми керованими

колесами (а також на базі тракторів типу ХТЗ-120, ХТЗ-16131 і за а.с. №1532408):

1, 2 і 3 - для швидкостей руху відповідно 1,38, 1,95 і 1,52 м/с

З рис. 2.8 випливає, що точність руху просапного агрегату з трактором типу Т-150К, але з передніми керованими колесами, підвищується при зменшенні відносного вильоту робочого органу від 1 до мінус 1. Так, при відносному вильоті, що дорівнює 1, агрегат задовільно працює в зоні хвильових чисел гармонійних складових викривлень рядків рослин, що обробляються від 0 до 0,33 рад/м; при вильоті, що дорівнює мінус одиниця - від 0 до ∞ . Тобто при відносному вильоті мінус 1, що відповідає розміщенню робочих органів на осі переднього моста, якість обробки гарантується при будь-яких значеннях k (див. п. 2.3). При вильоті, рівному 0,916, що відповідає трактору типу Т-150К, джерело викривлень не перевищує 0,35 рад/м, а це не задовільняє вимогу до точності руху просапного агрегату, обґрунтовану і прийняту нами раніше.

Таким чином, теоретичне дослідження точності руху просапних агрегатів з тракторами різних компонувальних схем і масогабаритними параметрами, характерними параметрами трактора тягового класу 3, проведене методами динаміки, показало наступине. Агрегати з тракторами класичної компоновки і агрегати з тракторами за авт. свид. СРСР № 1532408. Вони не можуть забезпечити якісне копіювання рядків рослин, які характеризуються хвильовими числами вище 0,37 рад/м навіть за найсприятливіших, з точки зору агровимог, умовах (при мінімальному розмірі вхідного сигналу, в якості якого прийнято допустиме відхилення стикових міжрядь від заданої ширини і при максимально допустимому розмірі похибки копіювання).

Однак аналіз взаємного розташування (в поздовжньо-вертикальній площині) основних вузлів і агрегатів трактора Т-150К показує, що виліт точки візуування для нього не може бути менше 2,5 ... 8 м. Це обумовлюється вимогами ергономіки, згідно яких «... при вертикальном положении головы ось спокойного взгляда направлена вниз от горизонтали под углом около 15°.

Граница оптимальной зоны видимости простирается от горизонтали вниз до угла примерно 30°» (Аруин, Зациорский, 1988; Инженерная ..., 1971).

У такому випадку для трактора тягового класу 3 (ХТЗ-170, ХТЗ-161, Т-150К тощо), де розташування очей оператора знаходиться на висоті h , що перевищує 2 м від рівня опорної поверхні, точка візуування може перебувати на відстані l_a від переднього моста, що дорівнює 2,5 ... 8 м. Насправді ж виліт точки візуування становить 3,5 ... 4 м.

З огляду на отримані значення вильоту точки візуування, і те, що в дійсності амплітуда вхідного сигналу (амплітуда гармонійних складових викривлень рядка рослин, що копіюється) значно перевищує прийняте нами для моделювання значення, можна стверджувати, що жоден з розглянутих нами агрегатів, складених на базі трактора тягового класу З міжбазовим розташуванням поста керування, не може забезпечити задану точність копіювання рядків рослин в необхідній зоні хвилювих чисел гармонійних складових їх викривлень.

Підвищити точність руху розглянутих агрегатів також можна шляхом зменшення значення відносного вильоту робочих органів культиватора, що за деякими міркувань важко або навіть неможливо. У зв'язку з цим доцільно перевірити можливість підвищення точності руху агрегату шляхом зміни його структури, а саме, перекомпонуванням МЕЗ, що може бути реалізовано

розташуванням поста керування в зоні заднього ведучого моста, що підтверджує результати дослідження оглядовості робочих зон МЕЗ під час роботи на реверсії з начіпним збиральним комбайном.

2.3. Пощукові варіанти покращення оглядовості з поста керування мобільного енергетичного засобу тягового класу 3

Як було показано вище, покращення показників оглядовості може бути досягнуті шляхом переміщення поста керування (кабіни) енергозасобу в зону візуального контролю. Нижче приведено аналіз конструкцій пристройів, які дозволяють переміщувати кабіну.

2.3.1 Аналіз конструкцій існуючих пристрій для переміщення кабін мобільних енергетичних засобів

За принципом дії пристрій, які забезпечують переміщення кабін можна розділити на дві класифікаційні групи:

I - пристрій, які забезпечують плоско-паралельне переміщення вздовж бази енергозасобу, або в іншому напрямку;

II - пристрій, які забезпечують переміщення за рахунок обертання кабіни навколо нерухомої осі.

До пристрій першої класифікаційної групи можна віднести пристрій описаний в роботі [5] (рис. 2.9). Кабіна енергозасобу ВІМА 300 переміщується на роликах вздовж направляючих. Основним недоліком даного пристрію є те, що він призначений для мобільних енергетичних засобів з практично рівнозначними передніми і задніми начіпними пристроями і системами відбору потужності та можливістю переміщення кабіни в один площині з тих причин, що таке технічне рішення не потребує застосування реверсивного поста керування.

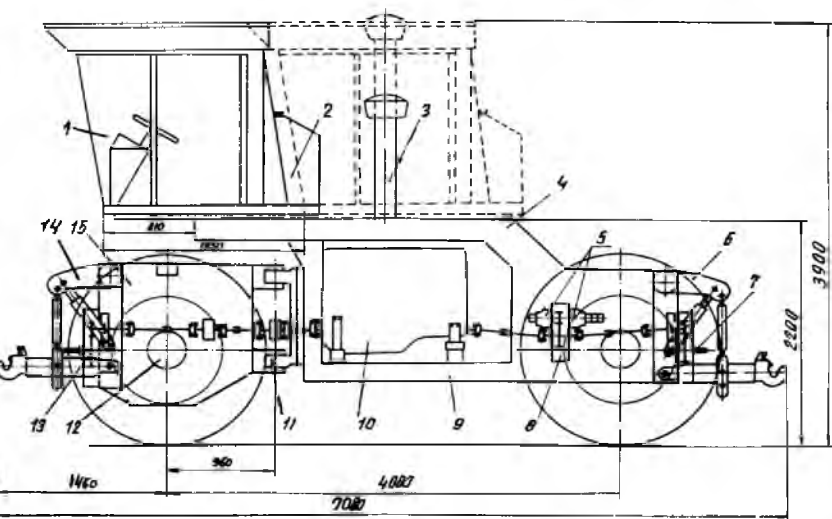


Рис. 2.9. Компонувальна схема енергозасобу типу Віма 300:

1 - кабіна; 2 - паливний бак; 3 - труба повітродочисника; 4 - задня піврама; 5 - гідронасос трансмісії; 6 - задній і передній начіпні пристрой; 7 - задній і передній ВЗП; 8 - розподільна коробка; 9 - нижня балка задньої піврами; 10 - верхня балка задньої піврами; 11 - верхня балка передньої піврами; 12 - нижня балка передньої піврами; 13 - передній і задній візок; 14 - передній і задній візок; 15 - верхня балка передньої піврами.

піврами; 10 – дещуп; 11 – шарнір; 12 – гідромотор трансмісії; 13 – передня піврама.

Коли ж згадана вище рівнозначність начинки присівоць та систем відбору потужності не забезпечена у енергозасоба, то виникає необхідність використання ще і реверсивного поста керування для роботи на реверсі, що істотно підвищує складність та вартість машини.

Вказаного вище недоліку не мають машини з кабіною, що обертається, які віднесені до другої класифікаційної групи (самохідне шасі СШ-75 (рис. 2.10) та енергозасіб типу CLAAS-2500 XERION (рис. 2.11)). Послідовність повороту кабіни можна прослідкувати на прикладі самохідного шасі СШ-75 (рис. 2.12).

Поворот кабіни разом з силовим агрегатом тракторного самохідного шасі типу шасі СШ-75 здійснюється з метою звільнення місця під технологічне обладнання і покращення умов передачі керуючих дій з кабіни до силового агрегату. В якості такого технологічного обладнання був, зокрема, зернозбиральний комбайн типу НК-4. Власне зернозбиральний комбайн це складна сільськогосподарська машина, робочі органи якої потребують знаного візуального контролю.

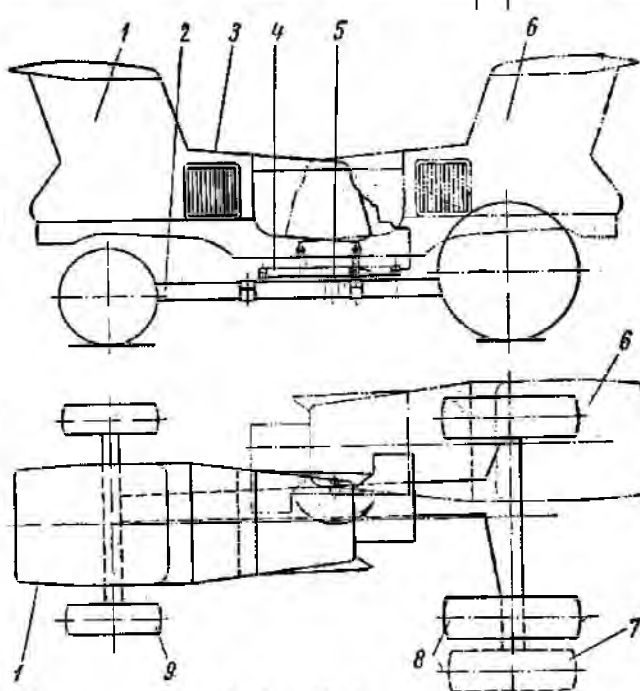


Рис. 2.10. Схема повороту силового агрегату шасі СШ-75:
1 – положення кабіни при симетричній схемі; 2 – візок; 3 – силовий агрегат; 4 – ось повороту силового агрегату; 5 – положення

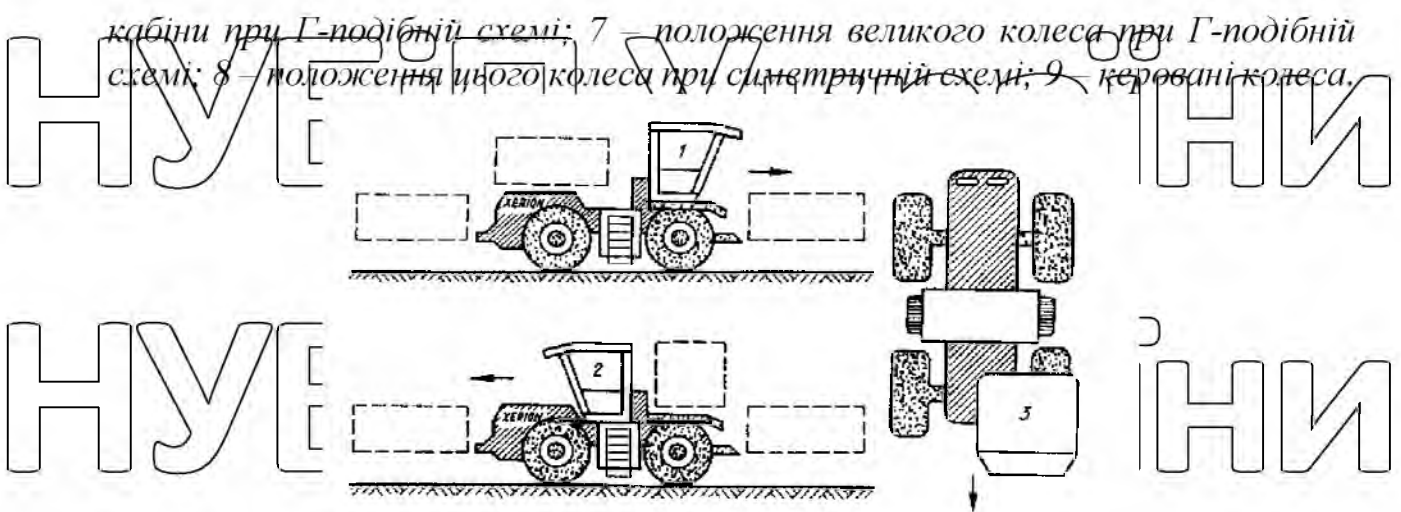


Рис. 2.11. Схема розміщення модульної кабіни мобільного енергетичного засобу типу CLAAS 2500 XERION:

1 – переднє; 2 – по середині; 3 – бічне

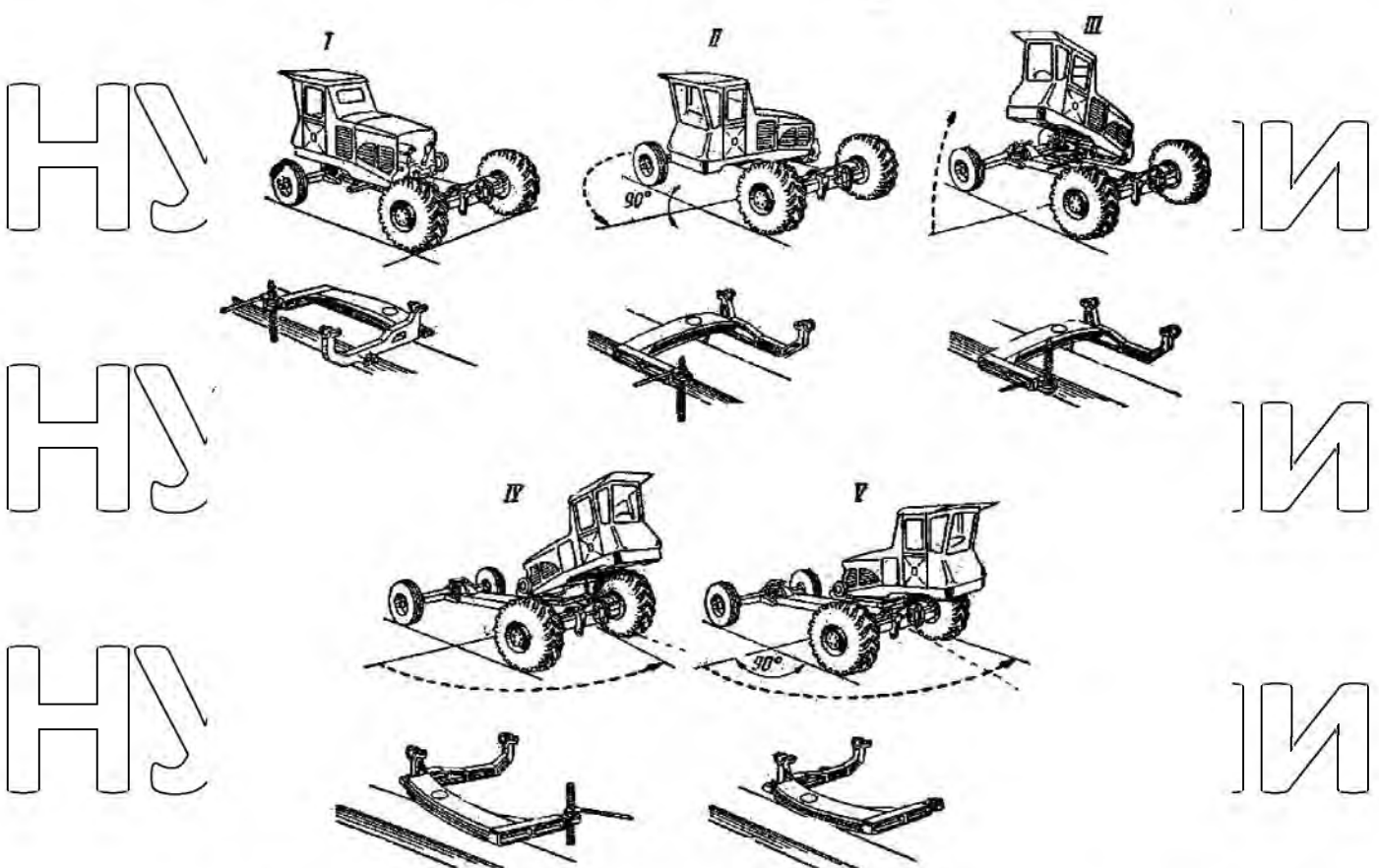


Рис. 2.12. Послідовність повороту кабіни і силового агрегату самохідного шасі типу СПМ-75:

I – положення до повороту (агрегат піднятий гвинтом на 20–30 мм); II – поворот на 90°; III – підйом агрегату; IV – продовження повороту і початок опускання агрегату; V – положення після повороту і опускання агрегату.

З розвитком конструкцій вузлів агрегатів мобільних енергетичних

засобів та елементів керування ними потреба в повороті кабіни в комбінації

разом з силовим агрегатом відпала, що і реалізовано в конструкції сучасних

мобільних машин типу CLAAS XERION (рис. 2.13).



Рис. 2.13. Процес переставлення кабіни енергозасобу типу CLAAS

XERION 3800VC

Кабіна піднімається гіравлічним підіймачем, а керування системами мобільного енергозасобу здійснюється з допомогою переважно електричних пристрій, а в окремих випадках і ручкою тросовою передачею.

Пристрій для переставлення кабіни енергозасобу типу CLAAS XERION

достатньо надійний і сам процес переставлення може виконувати оператор

мобільного енергетичного засобу не покидаючи свого робочого місця. Це говорить про мінімізацію витрат часу на здійснення також в свій час, складої операції.

НУБІП України

2.3.2. Обґрунтування конструкції пристрою для переміщення кабіни

З метою здешевлення конструкції пристрою для переміщення кабіни трактора ХТЗ-16131, який у стандартній комплектації обладнується реверсивним постом керування доцільно застосовувати поворотний пристрій по типу пристрою самохідного шасі СШ-75 або трактора-шасі CLAAS-2500 XERION, що дозволить уникнути установки реверсивного поста керування.

Крім того, на даний час на тракторах виробництва ВАТ «ХТЗ» починають встановлювати коробки передач, гідророзподільники з електричним керуванням, механізми керування двигуном, трансмісією і іншими агрегатами з гнучкими тросовими передачами (трактори ХТЗ-18040, ХТЗ-21040), що істотно спрощує передачу керуючих дій оператора з кабіни при її повороті. Тому основною задачею розробки конструкцій являється якраз забезпечення ефективного механізму повороту, який забезпечував би достатньою жорсткістю з'єднання в остовом при забезпеченні роботоздатності.

Аналіз габаритних розмірів трактора ХТЗ-16131 загалом і його кабіни зокрема [7, 8] дозволив встановити, що поворот останньої з наступною установкою в потрібній зоні, визначеній у п. 2.2.1, можливий навколо осі, яка розміщується на відстані близько 630 мм від осі заднього моста (рис. 2.14). При цьому можливий варіант збільшення габариту трактора за висотою до розміру 3535 мм, що не виходить за межі дозволені правилами дорожнього руху. Крім того, поворот можливий лише за умови попереднього кутового підйому кабіни з метою уникнення контакту в процесі повороту з агрегатами двигуна. Процес повороту проілюстрований на рис. 2.15 - 2.17.

Коефіцієнт оглядовості для згаданого трактора не перевищує 0,5, в той час як для збиральних машин характерний показник на рівні $K = 0,86-0,89$ [10]. За таких умов поворот кабіни трактора ХТЗ-16131 не забезпечить бажаних

показників оглядовості під час роботи на реверсі зі збиральними машинами.

Це пояснюється наявністю значних накопичень вздовж передньої панелі

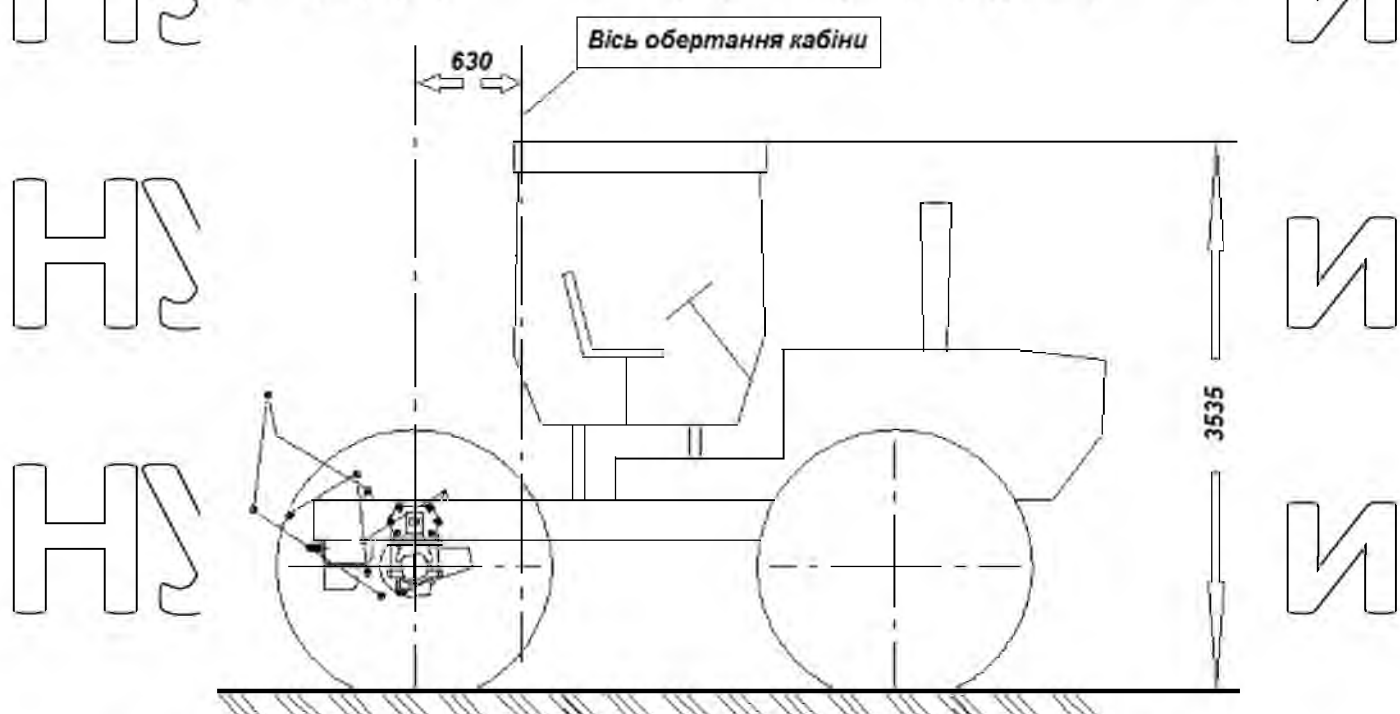
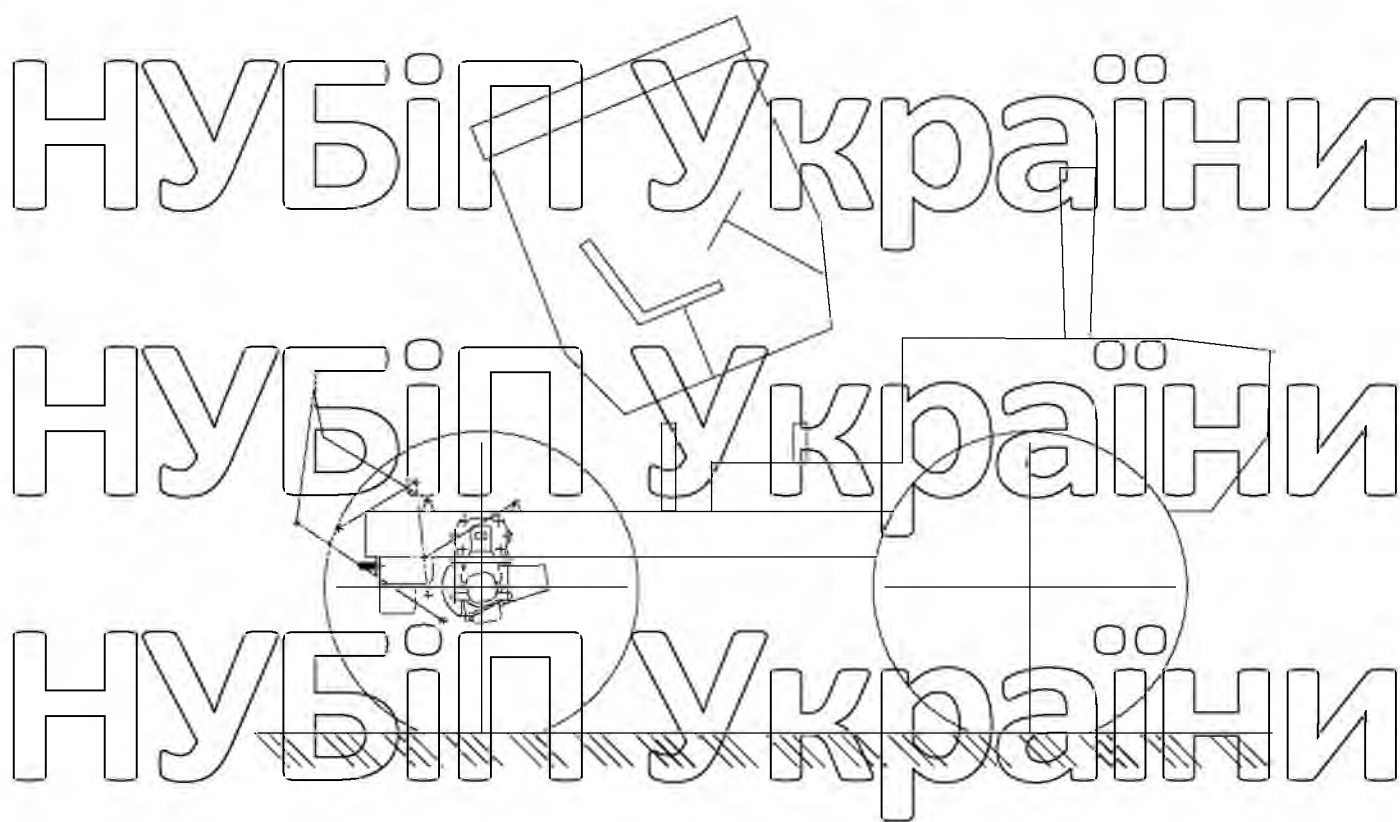


Рис. 2.14. Габарит по висоті трактора ХТЗ-1613 з поворотною кабіною та координата осі повороту кабіни



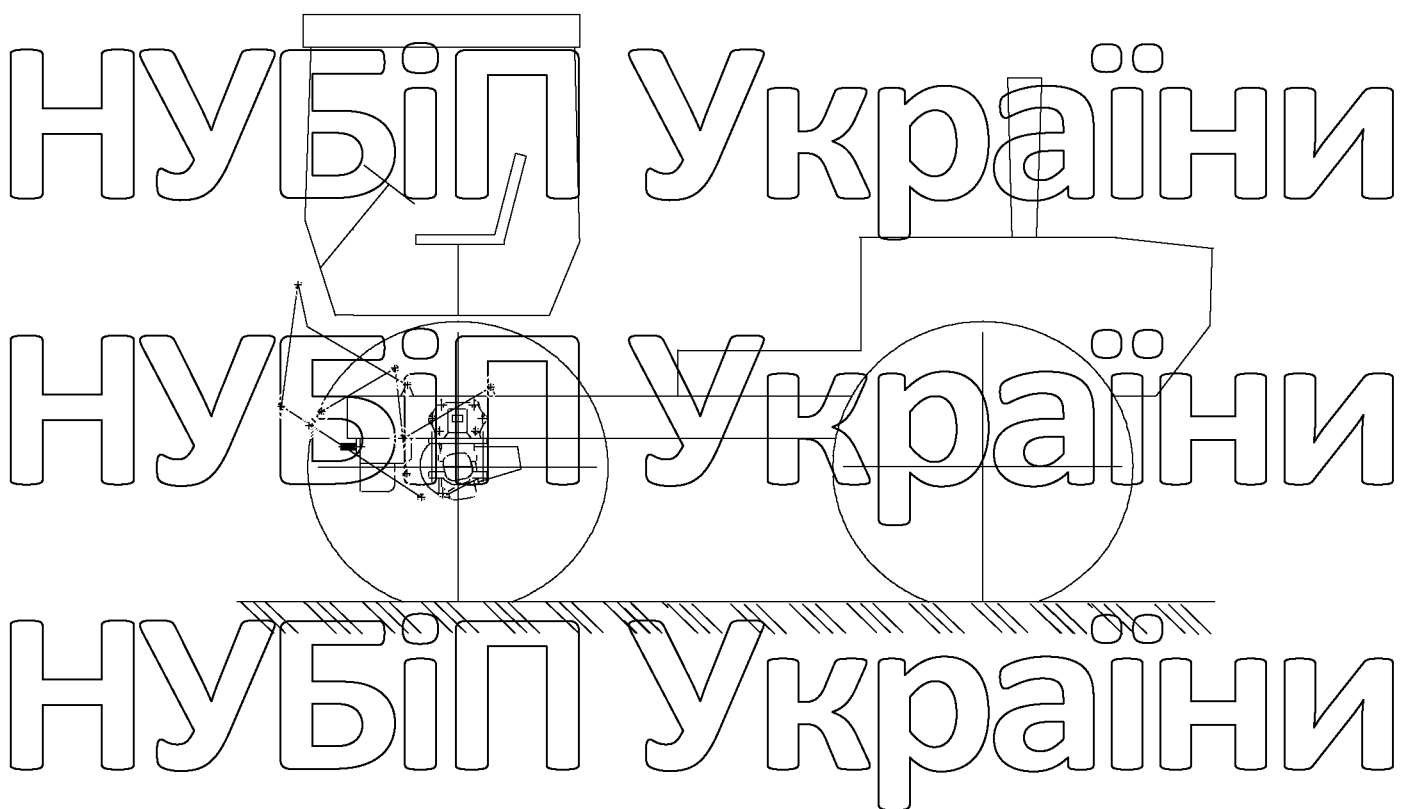
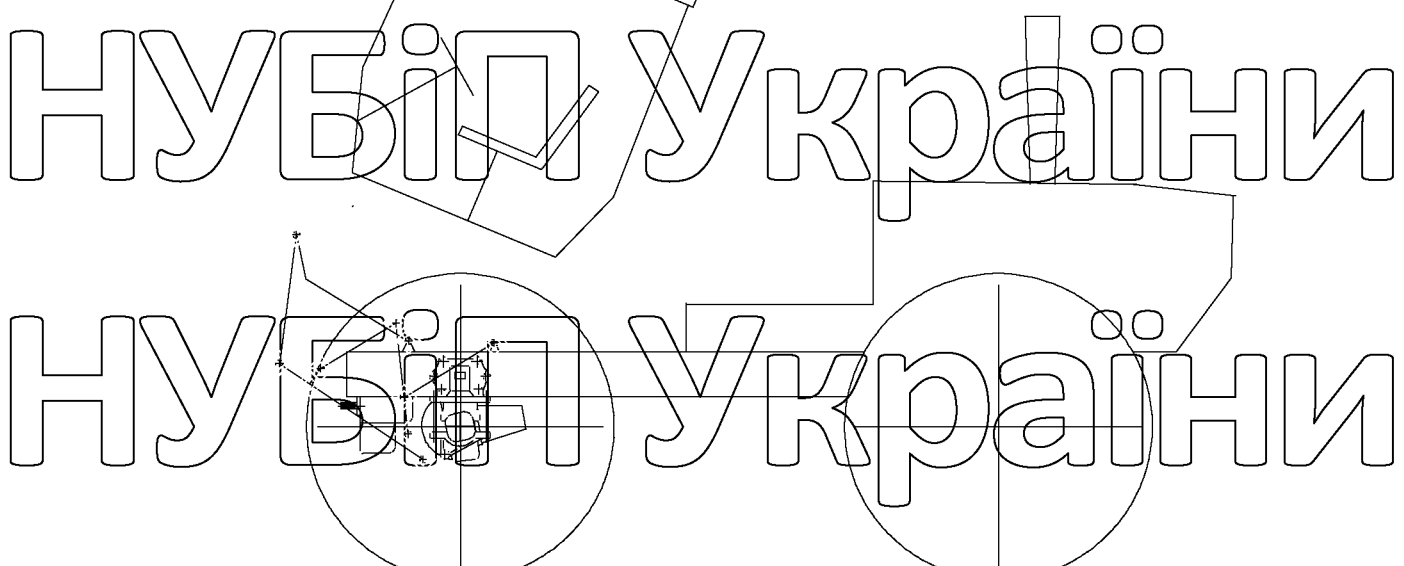
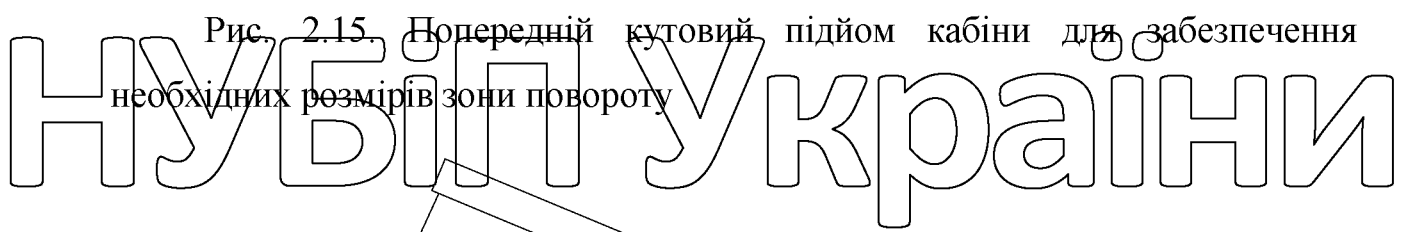
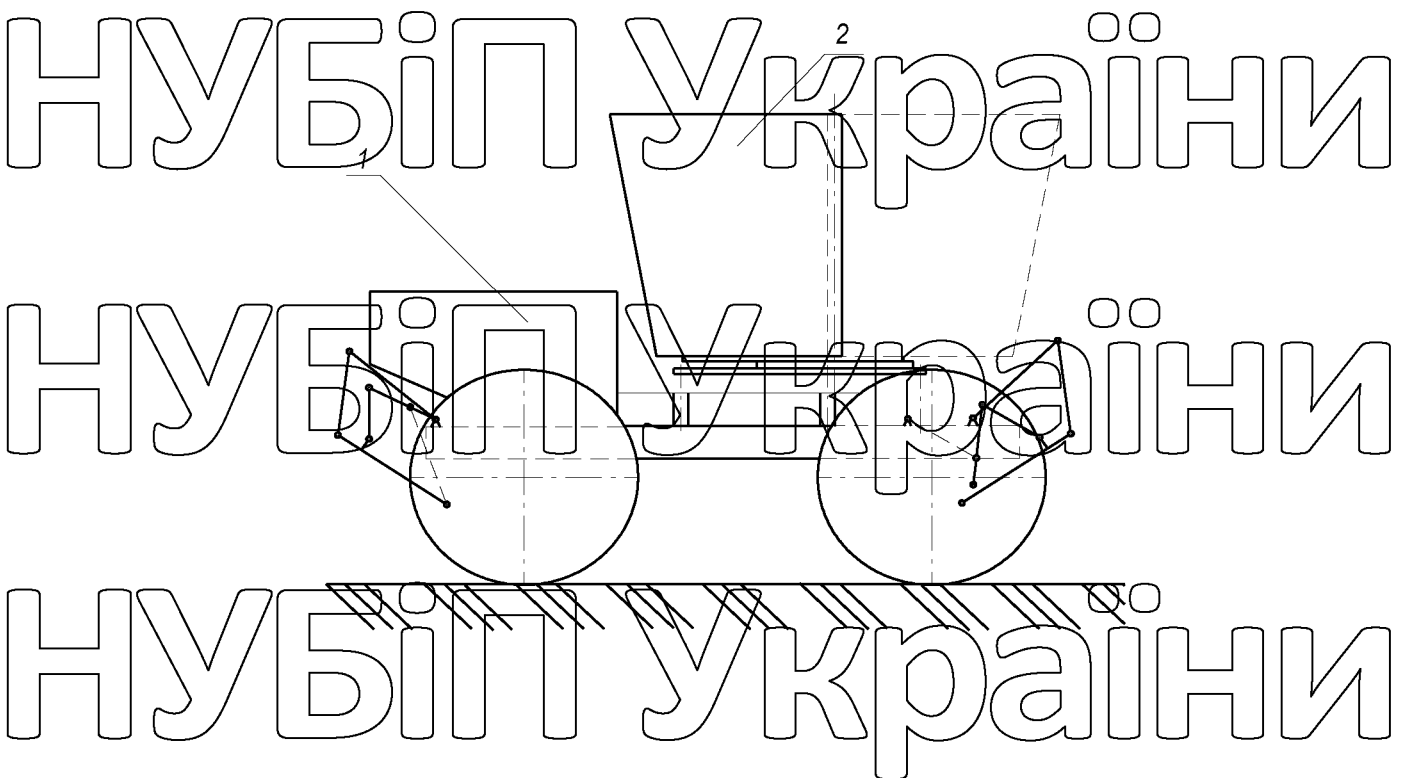


Рис. 2.17. Кабіна установлена для роботи на реверсі з кормозбиральним комбайном типу «Полісся - 3000»

кабіни (органы керування, щиток приладів, перегородки тощо). Уникнути названих недоліків можна за рахунок докорінної перекомпоновки передньої панелі кабіни, що здійснити досить складно за різних причин. Виходом з даної ситуації може бути застосування на тракторі кабіни призначеної для установки на самохідні збиральні машини типу Дон-1500, Дон-680, КЗС-9. «Славутич» тощо.

Виходячи з викладеного вище було прийнято рішення проаналізувати можливість установки на трактор ХТЗ-16131 кабіни комбайна типу «Дон».

Попередній кінематичний аналіз повороту кабіни на тракторі показав, що вона задовільно вписується у відведений простір повороту навіть без попереднього кутового підйому, що істотно спрощує конструкцію пристрою для її повертання і забезпечує задовільні показники оглядовості. Принципова схема трактора типу ХТЗ-16131 обладнаного кабіною комбайна типу «Дон» представлена на рис. 2.18. Недоліком даної кабіни є відсутність каркаса безпеки, який може без істотних затрат бути встановлений заводом-виготовлювачем. В якості ж дослідного зразка доцільно якраз розглядати можливість розвертання саме такої кабіни.





2.4. Висновки з розділу

1. Побудована передавальна агрегату за помилкою копіювання і сформульована вимога до точності руху агрегату відносно рядків рослин, сутність якої полягає в тому, що різниця модуля передавальної функції просапного агрегату за помилкою копіювання і відносного значення допустимої амплітуди помилки копіювання рядка не повинна мати негативних значень.

2. Аналіз взаємного розташування (в поздовжньо-вертикальній площині) основних вузлів і агрегатів колісного трактора класу 3 показує, що виліт точки візуування для нього не може бути менше 2,5 ... 8 м.

3. Для трактора тягового класу 3 (ХТЗ-170, ХТЗ-161, Т-150К тощо), де розташування очей оператора знаходиться на висоті h , що перевищує 2 м від рівня опорної поверхні, точка візуування може перебувати на відстані l від переднього моста, що дорівнює 2,5 ... 8 м. Насправді ж виліт точки візуування становить 3,5 ... 4 м.

4. Точність руху просапного агрегату з трактором типу Т-150К, але з передніми керованими колесами, підвищується при зменшенні відносного вильоту робочого органу від 1 до мінус 1. Так, при відносному вильоті, що

дорівнює 1, агрегат задовільно працює в зоні хвильових чисел гармонійних складових викривлень рядків рослин, що обробляються від 0 до 0,33 рад/м; при вильоті, що дорівнює мінус одиниця – від 0 до ∞ .

НУБІП України

РОЗДІЛ 3, ПРОГРАМА І МЕТОДИКА ЕКСПЕРИМЕНТАЛЬНИХ ДОСЛІДЖЕНЬ

Практична реалізація запропонованих технічних рішень ускладнена і потребує використання виробничої бази заводу виготовлювача та значних затрат коштів. Однак, практична перевірка теоретичних побудов можлива без виготовлення складного обладнання під що запропонована оригінальна програма і методика експериментальних досліджень.

НУБІП України

3.1. Програма робіт та об'єкти досліджень

Для перевірки теоретичних побудов передбачено виконати наступні роботи:

- дослідження оглядовості з поста керування енергозасобу;
- дослідження впливу вильоту точки візуування на точність руху просального культиватора.

НУБІП України

3.2. Методика досліджень

Методика досліджень оглядовості з поста керування енергозасобу викладена в п. 1.3.3 і передбачає визначення коефіцієнта оглядовості за залежністю (1.1):

$$K = 1 - \frac{S_{\text{НЗ}}}{S_B}$$

де K - коефіцієнт оглядовості;
 S_B - площа бажаної зони огляду оператора обмежена горизонтальною

площиною, яка проходить через точку відліку (очі оператора) і похилою площиною, в якій розміщується промінь нижньої межі оптимальної зони оглядовості [2], мм^2 .

Методика досліджень впливу вильоту точки візування на точність руху просапного культиватора передбачала кількісну характеристику процесу руху агрегату.

Для кількісної характеристики процесу руху агрегату застосовувався ряд показників: в амплітудній області - дисперсія управлюючих впливів, дисперсія і амплітуда помилки копіювання; в часовій області - шлях кореляційної зв'язку бічних переміщень робочих органів; в частотній - їх спектральні щільності.

Точність руху просапного агрегату оцінювалася за значеннями зворотних до неї (точності) величин: амплітуди і середньої квадратичної помилки копіювання робочими органами агрегату базової лінії. В процесі полігонних випробувань в якості останньої використовувалася спеціально нанесена на ґрунт гармонічна крива, а в процесі натурних випробувань - рядок рослин кукурудзи, який обробляється. Крім того, застосовувалося розкладання дисперсії помилки копіювання в ряд Фур'є за хвильовими числами.

Обґрунтування оптимальних значень величин, що характеризують умови функціонування просапного агрегату, проводилося за критерієм максимуму робочої швидкості (продуктивності агрегату за основний час), при якій можлива ширина односторонньої захисної зони рядка набуває мінімальних значень.

3.3. Об'єкти експериментальних досліджень

У процесі експериментальних досліджень оглядовості з чистота керування енергозасобу об'єктами були мобільні енергетичні засоби (ХТЗ-17221, ХТЗ-17022, МТЗ-1522В, MF, Fendt-926 Vario, Valtra Valmet 8750, ТМЗ-8285) та

самохідні збиральні машини (МЕ-7246 (зернозбиральний комбайн), Holmer Terra Dos T3 (бурякозбиральний комбайн) [1].
У процесі експериментальних досліджень впливу вильоту точки візуування на точність руху просапного культиватора був просапний агрегат у складі начіпного просапного культиватор КРН-8,4 і обладнаного здвоєними колесами (з шинами 12/13,6R38) трактор типу Т-150К – рис. 3.1.14].



НУДІІ УКРАЇНИ

Рис. 3.1. Пресапний агрегат з трактором Т-150К під час проведення полігонних (а) і натурних (б) випробувань [14]. Візуування здійснювалось з допомогою спеціального пристроя 4, закріпленого з допомогою кріплення 3 на штанзі змінної довжини 2 – рис. 3.2 [14].



Рис. 3.2. Пристрій для здійснення візуування [14]:

1 – рядок рослин; 2 – штанга змінної довжини; 3 – кріплення; 4 – пристрій для візуання

3.4. Прилади, апаратура та обладнання для проведення досліджень
Під час проведення випробувань застосовувалося наступне обладнання, вимірювальна апаратура і матеріали.

- при проведенні досліджень оглядовості з поста керування енергозасобу використовували фотоапарат міліметровий папір; лінійку, фільм;

• при проведенні досліджень впливу вильоту точки візування на точність руху просасного культиватора використовували шляховимірювальне колесо, електромагнітні контакти перетворювачі обертів коліс, лічильники обертів ведучих і шляховимірювального коліс, відмітки траекторій переднього, і заднього мостів трактора з гідропіндрами їх підйому, вимірювач-перетворювач паливоміра ІИ-179ПС з блоком управління і покажчиком, секундомір, вимірювальні лінійки (по ГОСТ 427-75), рулетка РЗ-50 (ГОСТ 7502-80), шнур довжиною 210 м з мітками через 0,5 м, мелена крейда, річковий пісок [14].

Живлення електричних вимірювальних схем здійснювалося від бортової мережі напругою 12В, що включала генератор (приводиться від двигуна трактора) і акумуляторну батарею 6СТ-50. Підключення електричних схем здійснювалось через блок живлення, який мав 20 виводів [14].

3.5. Схема дослідів та визначення кількості їх повторностей

Схема дослідів виконання досліджень з встановлення впливу вильоту точки візування на точність руху просасного культиватора була складена відповідно до повного факторному плану $2^2 [4]$. Керованими чинниками були «швидкість руху агрегату V » і «довжина хвилі гармонічної кривої T », яка копіювалася в процесі дослідів. Нижні і верхні значення рівнів керованих факторів приведені в табл. 3.1 [14].

Таблиця 3.1.

Нижні і верхні рівні керованих факторів повного факторного експерименту

Фактор	Рівні
нижній	2 ² [4]
верхній	Рівні

Швидкість руху V , м/с	$1,52 \pm 0,1$	$2,38 \pm 0,1$
Довжина хвилі гармонічної кривої T , м	$21 \pm 0,05$	$50 \pm 0,05$

Іри плануванні дослідів нами враховувався той факт, що при використанні факторних планів досліди можна проводити й в одній повторності (Любищев, 1986).

Але для досліджень, які проводились нами повторність дослідів була прийнята рівного чотирьом, послідовність їх проведення рандомізована за допомогою таблиці випадкових чисел [14].

Довжина залікової ділянки оцінювалася за відомою методикою розрахунку мінімальної довжини реалізації стаціонарного випадкового процесу, який досліжується (Лурье, 1970, с. 108).

Прийнявши, що нижнє значення k_h смуги хвильових чисел, що представляють зацікавлення, є $0,7 \dots 1,5$ рад/м, отримаємо [14]

$$S = 10 \cdot \tau_h = 20 \cdot \pi / k_h = 42 \dots 90 \text{ м} \quad (3.1)$$

де τ_h — період гармоніки з хвильовим числом k_h [14].

$$\tau_h = 2 \cdot \pi / k_h$$

Відповідно до цього мінімальна довжина залікової ділянки була прийнята рівною 50 м. Загальна ж довжина гармонічної кривої, яка копіювалась включаючи розгинні ділянки, досягала 250 м [14].

Визначення кількості повторностей дослідів і кількості вимірювань в кожній повторності при проведенні всіх серій дослідів виконувалося за допомогою співвідношення (Беликов и др., 1973; Зайдель, 1974):

$$\sigma_{S_n} = \frac{\sigma}{2 \times (n - 1)}$$

НУБІЙ України

Схема дослідів для дослідження впливу вильоту точки візування на точність руху просапного агрегату представлена в табл. 3.2.

Таблиця 3.2.

Схема дослідів, що проводилися згідно з планом²³ для оцінки точності руху

просапного агрегату

Назва (кодоване позначення)	Фактор	Значення фактора в досліді									
		Натуральне значення на рівні	нижньому	верхньому	1	2	3	4	5	6	7
Швидкість руху V , м/с X_1		1,52	2,38	-	-	-	-	-	+	+	+
Довжина хвилі гармонічної кривої T , м X_2		21	50	-	-	+	+	+	-	-	+
Відстань точки візуування, м записаного в більш узагальненому вигляді		2,5	4,0	-	+	+	+	+	-	+	+

$$\sigma_{s_n} = \sigma / \sqrt{2 \cdot (N \cdot n - 1)}, \quad (3.2)$$

де σ_{s_n} - середня квадратична похибка помилки копіювання заданої траєкторії, см;

σ - усереднена, за результатами попередніх експериментальних досліджень,

середня квадратична похибка копіювання заданої траєкторії;

N - кількість повторностей дослідів в одній точці плану експериментів;

n - кількість вимірювань, виконаних в одній повторності.

Для отримання достатньої точності експерименту було прийнято, що σ_{s_n}

не повинно перевищувати 5% від σ , тобто

$$\sigma_{s_n} \leq 0,05 \sigma \quad (3.3)$$

Підставляючи цей вираз у спiввiдношення (3.2) отримано:

$$0,05 \cdot \sigma \geq \frac{\sigma}{\sqrt{2 \cdot (N \cdot n - 1)}}, \quad (3.4)$$

НУБІП України

звiдки $N \cdot n = 201$

Це означає, що для отримання необхiдної точностi досить провести дослiди в двох повторностях ($N = 2$), в кожнiй з яких виконується не менше 100 вимiрювань ($n = 100$). Фактично дослiди проводилися в чотирикратнiй повторностi, в кожнiй з яких виконувалося по 101-у вимiрюванню (при натурних випробуваннях) i по 51-у вимiрюванню (при полiгонних випробуваннях). Вiдповiдно до планiв експериментiв пiд час проведення полiгонних випробувань заликовi дiлянки вiдмiчалися довжиною не менше 51...55 м, а при натурних випробуваннях - не менше 101...105 м. Заликовi дiлянки при натурних випробуваннях вiдмiчалися в випадкової послiдовностi i не близче 100 м вiд смуг розворотiв.

НУБІП України

3.6. Умови та методика проведення дослiдiв

НУБІП України

Випробування проводилися в господарствi з типовими для Лiсостепу України грунтово-кlimатичними умовами. Тии грунту - черновzem опiззолений велико-пилевато-легко-суглинистий на лесi. Структура грунту - комкувата, рельєф - хвиляста рiвнина. рельєф поля - рiвний з невеликими блюдцями.

НУБІП України

Мiкрорельєф рiвний. Кiлькiсть i площа полiв - одне, 120 га. Обробiток, що передував посiву - оранка на зяб, закриття вологи, супiльна культивацiя в два слiди на глибину 5-6 см. Спосiб руху при посiвi i мiжрядному обробiтку -

НУБІП України

Таблиця 3.3.

Характеристика умов випробувань

(виконана відділом випробувань УкрНДІПВТ)

Найменування показника	Значення показника
Марка машини (машин в агрегаті)	Т-150К + КРН-8,4
Вологість ґрунту, % в шарах, см:	
0-5	20,5
5-10	22,0
10-15	22,1
Твердість ґрунту в рядках, МПа в шарах, см:	
0-5	0,50
5-10	1,17
10-15	1,14
Характеристика кукурудзи:	
Висота рослин, см	10,2
Ширина рослин, см	15,1
Кількість бур'янів на 1 м ² , шт.	19,20
При підготовці до випробувань, відповідно до керівних матеріалів з експлуатації, були проведені регулювання рульового управління трактора. Люфт рульового колеса не перевищував 0,35 рад, тиск спрацьовування запобіжного клапана був рівним 7,5 МПа, поворот трактора з одного крайнього положення в інше відбувався за 4 ... 5 с. Тиск в шинах передніх і задніх коліс становив відповідно 0,12 ± 0,01 і 0,10 ± 0,01 МПа.	

В якості опорної траєкторії застосовувалися гармонічні криві, які

характеризуються амплітудою a і довжиною хвилі T , обґрунтування розмірів яких наведено у додатку С. Нижньому рівню фактора «довжина хвилі»

відповідало значення 21 м, а верхньому - 50 м.; амплітуда у всіх випадках була однаковою 20 см.

Досліди проводилися в наступній послідовності. Після підготовки обладнання до роботи, агрегат заїжджав на розгинну ділянку так, що опорна траєкторія 2 (рис. 3.3) залишалася справа по ходу трактора.

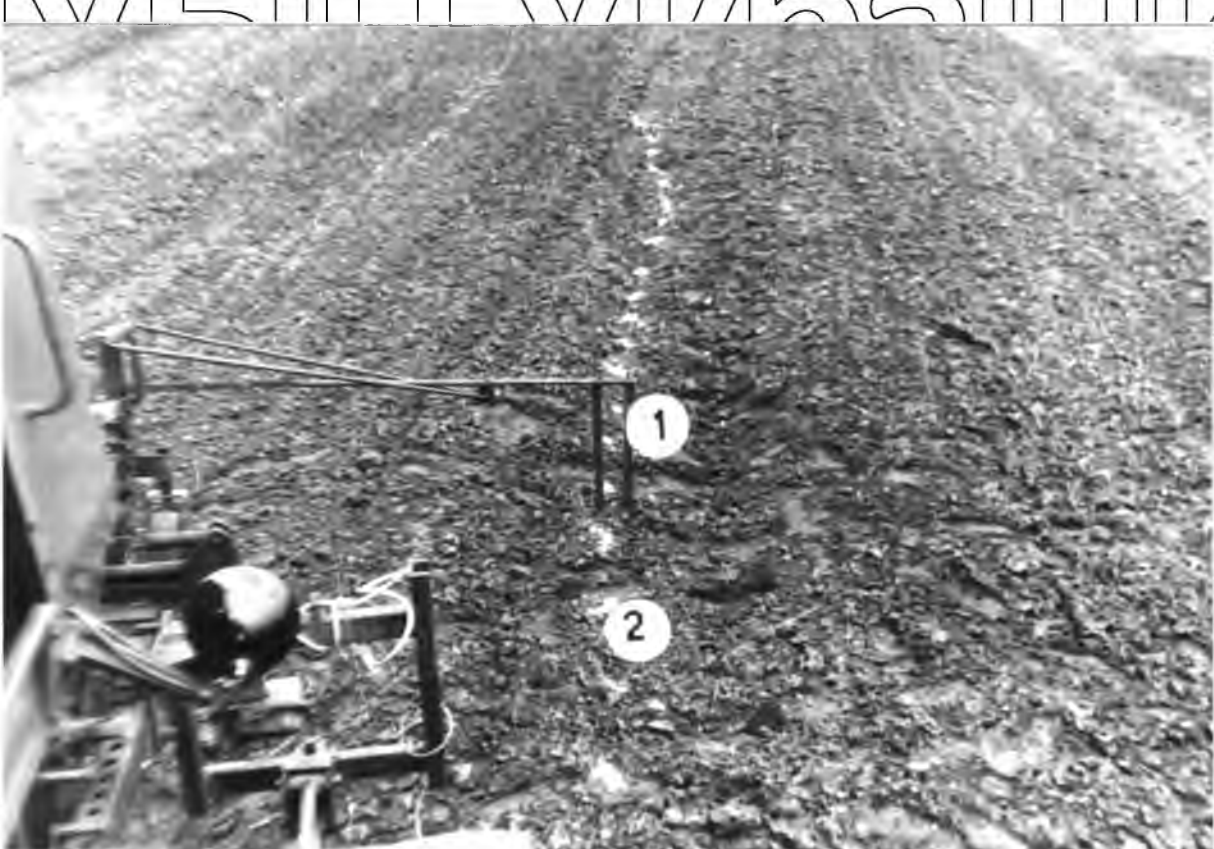


Рис. 3.3. Схема орієнтування водія дослідного просапного агрегату

вздовж опорної траєкторії:

1 - прицільна планка візорного пристрою; 2 - опорна траєкторія

Прицільна планка візорного пристрою 1 знаходилася над віссю опорної траєкторії. Агрегат починав розгін до заданої швидкості руху, при цьому водій візуально суміщував прицільну планку візорного пристрою з віссю опорної траєкторії. Після заїзду на розгинну ділянку водій опускав відмітки 4 і 5 (див. рис. 3.6) траєкторії відповідно переднього і заднього мостів. На заданій швидкості агрегат проїжджав заліковий ділянку. Після проходу трактора на

грунті залишалися чотири чітко означених траєкторії. Перша (нанесена крейдою) - опорна траєкторія; друга (прокреслена металевим відмітчиком 4) - траєкторія центру переднього моста, третя (прокреслена металевим відмітчиком 5) - траєкторія центру заднього моста і четверта (прокреслена робочим органом) траєкторія робочого органу.

Траєкторія руху наносилася на ґрунт меденою крейдою змішаною з річковим піском у пропорції 1:1. При цьому використовувався шнур довжиною 210 м з мітками через 0,5 м. Координати точок, які наносились на ґрунт визначалися за формулою:

$$Y = 20 \cdot \cos \left[\frac{(2 \cdot \pi)}{T} \cdot x - 20 \right], \quad (3.5)$$

де T - довжина хвилі гармонічної кривої, м;

x - поздовжня координата, м (задавалася дискретно з інтервалом 0,5 м). Опорного траєкторією при полігонних випробуваннях була гармонічна крива, параметри якої визначалися відповідно до викладеної вище методики.

В процесі випробувань водій контролював положення агрегату щодо опорної траєкторії 2 за допомогою візирного пристрою з прицільною планкою 1 (див. рис. 3.3). З метою запису траєкторії культиватора, на двох сечнях, розташованих симетрично відносно поздовжньої осі агрегату, були встановлені тільки долотоподібні лапи, які залишають чіткий слід. Після проходу агрегату через кожен метр шляху за допомогою спеціальної лінійки на ґрунт зчитувалися і заносилися в польовий журнал бічні відхилення щупа 1 однієї (ближньої) з долотоподібних лап відносно опорної траєкторії.

Для виконання натурних випробувань просапного агрегату на міжрядному обробітку кукурудзи, посіяної начіпним 12-рядним агрегатом на базі трактора Т-150К.

Перед початком випробувань поле (по довжині гону) розбивалося на залікові ділянки довжиною 101 ... 105 м. Початок і кінець кожної з ділянок позначалися віхами, відстань між сусідніми ділянками (по довжині гону) становила не менше 150 м. Залікові ділянки розміщувалися на відстані не менше 100 м від смуг розворотів. Порядок проведення дослідів був аналогічний викладеному вище з тією різницею, що в якості опорної траєкторії слугував рядок рослин. Для запису траєкторії руху робочих органів культиватора на одній із секцій були встановлені тільки односторонні плоскоріжучі лапи 1 (рис. 3.4), одна з яких мала грунтовідкидач 2. Це дозволяло отримати чітку не засипану межу 3 захисної зони рядка, що давало можливість більш точно проводити вимірювання.



Рис. 3.4. Розташування грунтовідкидача для формування чіткої межі односторонньої захисної зони рядка

НУБІП України

1 - одностороння пісковіржуча дата (брітва); 2 - ґрунтовідкідач; 3 - межа захищеної зони рядка

3.7 Методика обробки експериментальних даних

НУБІП України

Зчитування координат траекторій характерних точок виконувалося допомогою спеціальної лінійки – рис. 3.5. [14]

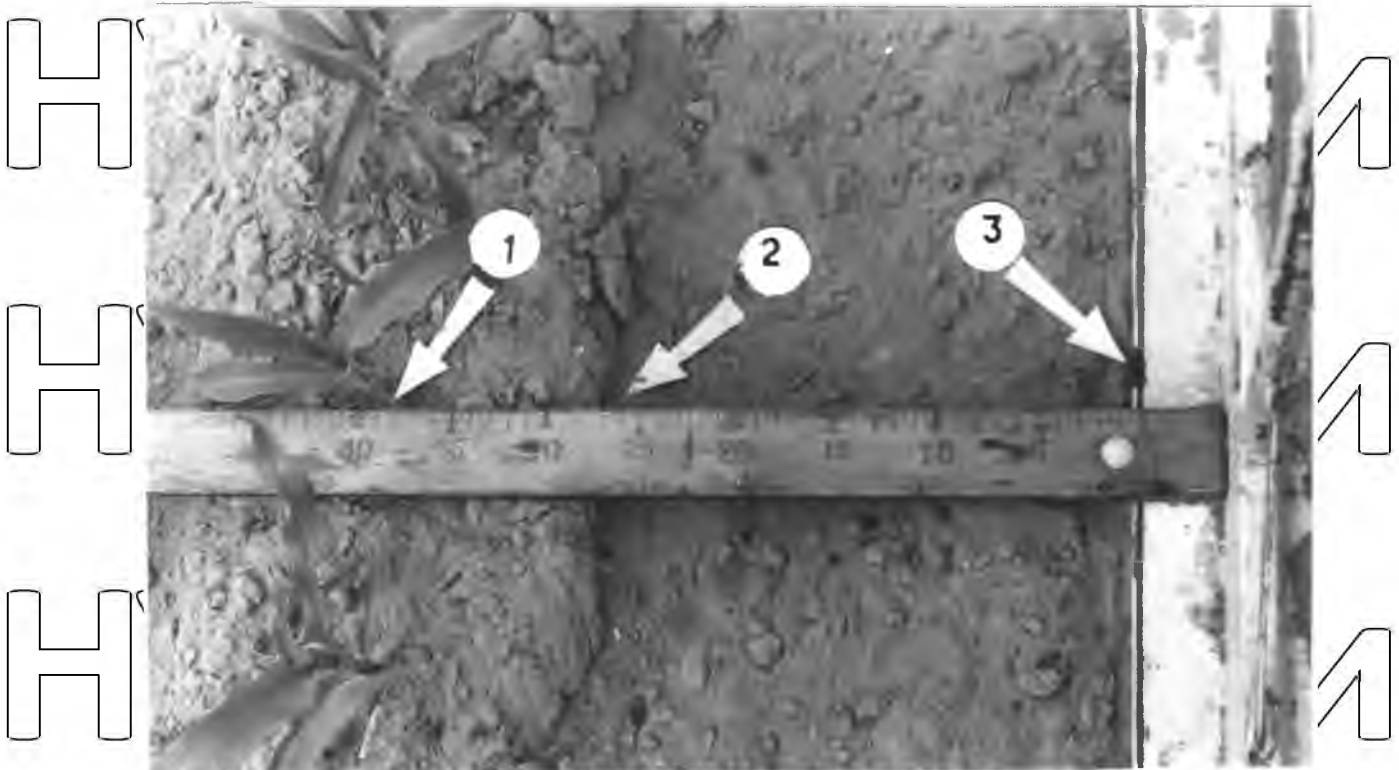


Рис. 3.5. Лінійка для вимірювання бічних відхилень осі рядка рослин (1) і траекторії руху робочого органу (2) від натягнутого прямолінійного шнуря (3)

Інтервал дискретизації отриманих в процесі полігонних і натурних випробувань реалізацій досліджуваних процесів, виражений в метрах, визначався із співвідношення (Лурье, 1970, с. 107):

$\Delta X = \frac{\pi}{k_\Gamma} = 0,78$ м,

де k_Γ – верхня межа хвильових чисел керуючих впливів, згідно даних роботи (Пожидаев, 1984) $k_\Gamma = 4$ рад/м.

Насправді ж інтервал дискретизації при зчитуванні значень ординат був прийнятий рівним 1 м, що дозволило враховувати в досліджуваному процесі гармоніки з хвильовим числом до 3 рад/м.

Зчитування даних з діаграм, що визначають характер зміни кута зламу піврам трактора, проводилося методом ординат. Інтервал дискретизації на

діаграмі становив 2,5 мм, що відповідало інтервалу дискретизації за часом 0,47 с, а за шляхом – 0,71 і 1,13 м. при швидкості руху агрегату 1,52 і 2,38 м/с відповідно.

Отримані результати вимірювань піддавалися попередній і основній обробці. Перша з них включала перевірку на наявність групних помилок з наступним вибраковуванням їх при виявленні за відомими методиками (Завалишин, Машев, 1982; Румніцкий, 1971). Крім того, визначалися початкові моменти розподілу (центральні, зміщені і незміщені), ексцес β_2 і квадрат коефіцієнта асиметрії $\beta_1 = \rho^2$, також проводилася перевірка

погодження дослідного розподілу з теоретичним нормальним.

Визначення початкових моментів розподілу β_2 і асиметрії ρ проводилося в такій послідовності. Початкові моменти обчислювалися за співвідношенням:

$$M_1 = \sum^N X_i / N; M_2 = \sum^N X_i^2 / N; M_3 = \sum^N X_i^3 / N; M_4 = \sum^N X_i^4 / N \quad (3.6)$$

де N – кількість отриманих значень величини X .

На підставі значень початкових моментів обчислювали другий, третій і четвертий центральні моменти (Румніцкий, 1971, с. 29).

$$\begin{aligned} \mu_{2_{CM}} &= M_2 - M_1^2; \quad \mu_{3_{CM}} = M_3 - (3 \cdot \mu_{2_{CM}} + M_1^2) \times M_1 \\ \mu_{4_{CM}} &= M_3 - [4 \cdot \mu_{3_{CM}} + (6 \cdot \mu_{2_{CM}} + M_1^2) \times M_1] \end{aligned} \quad (3.7)$$

Зважаючи на обмеженість обсягу вибірки, значення $\mu_{2_{CM}}$, $\mu_{3_{CM}}$ і $\mu_{4_{CM}}$ є

зміщеними - вони менші за дійсні значення центральних моментів.

Для переходу від зміщених моментів до незміщених використовувалися наступні співвідношення, запропоновані Р.А. Фішером (Коуден, 1961, с. 72):

$$\mu_2 = \frac{\mu_{2_{CM}} \times N}{(N - 1)};$$

$$\mu_3 = \frac{\mu_{3_{CM}} \times N^2}{[(N - 1)(N - 2)]};$$

$$\mu_4 = \frac{\mu_{4_{CM}} \times N^2(N + 1)}{[(N - 1)(N - 2)(N - 3)]}. \quad (3.8)$$

Однак досвід обробки дослідних даних показує, що незміщені моменти

за Р.А. Фішером також часто обтяжені значною систематичною похибкою, але вже в інший бік - вони більші за дійсні. У зв'язку з цим доцільно обчислювати

інші моменти, розглядаючи їх як «вилку» для дійсних значень

центральних моментів.

Нормовані четвертий (експес β_2) і третій (асиметрія ρ) центральні

моменти (Коуден, 1961, с. 72), а також квадрат останнього рівні:

$$\rho_{CM} = \frac{\mu_{3_{CM}}}{\mu_{2_{CM}}^{1,5}}; \quad \beta_{1_{CM}} = \rho_{CM}^2; \quad \beta_{2_{CM}} = \frac{\mu_{4_{CM}}}{\mu_{2_{CM}}^2},$$

або

$$\rho = \frac{\mu_3}{\mu_2^{1,5}}; \quad \beta_1 = \rho^2; \quad \beta_2 = \frac{\mu_4}{\mu_2^2}$$

Значення коефіцієнтів β_1 і β_2 використовувалися для попередньої оцінки близькості дослідного розподілу значень X_i до того чи іншого закону теоретичного розподілу (в нашому випадку – до нормального). При цьому враховувалося, що величини ρ , β_1 і β_2 обтяжені значною статистичною похибкою, середньоквадратичне значення якої дорівнює (Румшицький, 1971):

$$\text{НУБін} \quad \begin{aligned} S_{\rho} &= \sqrt{\frac{6(N-1)}{[N+1](N+3)}}; \\ S_{\beta_1} &= 2 \times \rho \times S_{\rho} + S_{\rho}^2; \\ S_{\beta_2} &= \sqrt{\frac{[24(N-2)(N-3)]}{[(N+3)(N+5)]}}. \end{aligned} \quad (3.9) \quad \text{Україні}$$

Це дозволило отримати інтервальну оцінку для величин β_1 і β_2 , яка для 95% ймовірності довіри дорівнює, відповідно:

$$\text{НУБін} \quad \beta_{1\text{и}} = \widehat{\beta}_1 \pm 2 \cdot S_{\beta_1}; \quad \beta_{2\text{и}} = \widehat{\beta}_2 \pm 2 \cdot S_{\beta_2}; \quad (3.10) \quad \text{Україні}$$

За отриманою інтервальною оцінкою величин β_1 і β_2 , за допомогою

діаграми Пірсона (Хан, Шапіро, 1969, с.231) виконувалася попередня оцінка

близькості дослідного розподілу значень X_i до одного з теоретичних

розподілів.

Перевірку погодженості дослідного розподілу з теоретичним нормальним виконували за допомогою критерій Колмогорова і омега-квадрат

(ω^2) згідно ГОСТ 11.006-74. (Критерій хі-квадрат не використовувався за тієї

причини, що він вимагає групування даних за інтервалами, що може вплинути на результати перевірки (Хан, Шапіро, 1969, с. 345)).

Обчислення оцінчних значень критерій Колмогорова і омега-квадрат

виконувалося за допомогою ПК типу IBM за алгоритмом, викладеному в

згаданому стандарті, який передбачає запис значень результатів випробувань

в нормованому вигляді Z_i . Обчислення їх теоретичної F_{T_i} і дослідної F_d

функцій розподілу, різниці функцій розподілу D і остаточне обчислення значень λ і ω^2 див. додаток Г.

За результатами обчислень для кожної вибірки будувався графік залежності дослідної та теоретичної функцій розподілу результатів випробувань, записаних в нормованих значеннях.

Основна обробка результатів експериментальних досліджень зводилася до обчислення середніх значень даної вибірки (\bar{X}), дисперсії (σ^2), середніх квадратичних відхилень, значень автокореляційної функції, спектральної щільності розподілу дисперсії за частотами.

Амплітуда помилки копіювання робочими органами агрегату моногармонічної базової лінії обчислювалася за співвідношенням, яке має вигляд:

$$A_{\text{поя}} = \sqrt{2 \cdot \sigma^2}. \quad (3.11)$$

Для встановлення регресійних залежностей, досліджуваних процесів від раніше згаданих змінних величин, отримані значення дисперсій і СКВ оброблялися методами, які застосовуються при обробці факторних експериментів, що призводило до одержання рівняння регресії виду:

$$\hat{Y} = b_0 + \sum_{i=1}^m b_i \cdot x_i + \sum_{i,j=1}^m b_{ij} \cdot x_i \cdot x_j, \quad (3.12)$$

де b_0 - вільний член, m - кількість керованих змінних, b_i, b_{ij} - коефіцієнти регресії.

Результати експериментальних досліджень апроксимувались поліномами, порядок яких визначався отриманими раніше теоретичними залежностями. Так, наприклад, передавальна функція підсилювальної ланки $W_1(p)$, на робочому діапазоні частот, апроксимувалася поліномом першого

ступеня, а амплітуда помилки апроксимувалась поліномом другого ступеня виду

НУБІП України

$$Y = a + b \cdot x + c \cdot x^2$$

де x - частота, рад/с, або хвильове число, рад/м.
Обчислення коефіцієнтів поліномів, залишкових дисперсій, визначення статистичної значущості коефіцієнтів і інтервалів довіри для кінцевих залежностей проводилося за стандартними методиками, викладеними в роботах (Закс, 1976; Четыркин, 1977; Ферстер, Ренц, 1983; Леноцький, 1986).

При обґрунтуванні мінімально допустимої ширини односторонньої установочної захисної зони рядка виходили з припущення, що помилка копіювання підкоряється закону нормального розподілу і, відповідно, «правилу трьох сигм». Це дозволило скористатися співвідношенням:

НУБІП України

$$z_y = A_{\text{ОШ.Р}} - 4,5 = 3 \cdot \sigma + 4,5, \quad (3.13)$$

де z_y - розмір односторонньої установочної захисної зони, см;

$A_{\text{ОШ.Р}}$ - амплітуда помилки копіювання робочими органами агрегату оброблюваних рядків рослин, см:

НУБІП України

$$A_{\text{ОШ.Р}} = 3\sigma;$$

σ - середня квадратична помилка копіювання рядка, см;
4,5 - мінімально допустима одностороння захисна зона за біологічними ознаками культури і розсіюванням рослин по ширині рядка, см.

$3/8$. Висновки з розділу

НУБІП України

1. Передбачено проведення досліджень оглядовості з поста керування енергозасобів різної конструкції та компонувальних схем.
2. Передбачено проведення досліджень впливу вільоту точки візуування на точність руху просапного культиватора вздовж гармонічної кривої під час полігонних випробувань та рядка рослин під час натурних випробувань.

НУБІП України

РОЗДІЛ 4. РЕЗУЛЬТАТИ ЕКСПЕРИМЕНТАЛЬНИХ ДОСЛІДЖЕНЬ ТА ЇХ АНАЛІЗ

4.1. Результати дослідження оглядовості серійних машин

Для енергозасобів різних конструкцій і конструктивно-компонувальних схем характеристики оглядовості будуть різними, що показують дані експериментальних досліджень коефіцієнта оглядовості з поста керування енергозасобів різних марок і компоновок, проведені за залежністю (2.1) і викладені в табл. 4.1 [10].

Таблиця 4.1.

Експериментальні значення коефіцієнта оглядовості енергозасобів і

Марка енергозасобу, самохідної машини	Значення коефіцієнта оглядовості K	
	штатний рух вперед	реверсний рух
1. MF-7246 (зерновзбиральний комбайн)	0,86	
2. Holmer Terra Dos T3 (бурякозбиральний комбайн)	0,89	
3. XT3-17221	0,39	0,40
4. XT3-17022	0,45	0,38
5. МТЗ-1522В	0,40	0,66
6. MF	0,48	0,80
7. Fendt 926 Vario	0,49	0,94
8. Valtra Valmet-8750	0,49	0,61
9. ПМЗ-8285	0,60	0,56

Приведені в табл. 4.1 дослідження проведені з урахуванням характерних ліній і точок відповідно до схеми представленої на рис. 2.1, а об'єктами експериментальних досліджень були енергозасоби фірм Fendt, Massey

Ferguson (MF), Valtra Valmet, MTЗ, ПМЗ, а також зерновзбиральний комбайн MF-7246 та бурякозбиральний комплекс Holmer Terra Dos T3 [10, 11].

З метою порівняння отриманих результатів досліджень з бажаними для забезпечення ефективного виконання технологічної операції в якості

контрольних визначались показники оглядовості самохідних спеціалізованих машин.

Так показники оглядовості, отримані для спеціалізованих збиральних машин досягнуті на рівні 0,86 та 0,89 для зерновзбирального комбайна Massey Ferguson та бурякозбирального комбайна Holmer Terra Dos T3 відповідно.

Такі високі показники для самохідних спеціалізованих машин обумовлені кутом нахилу нижньої межі зони оглядовості оператора β , значення якого істотно

вищі, ніж ті, що передбачені у роботі [2] на рівні 30° для забезпечення мінімального втомлення оператора. Це пояснюється специфікою роботи

збиральних машин, де велика увага приділяється саме візуальному контролю за роботою вузлів і агрегатів машини. В такому випадку і оцінку оглядовості з

поста керування МНЗ доцільно вести дотримуючись тих же правил, не обмежуючись кутом $\beta = 30^\circ$. Останнє веде до передчасного втомлення

оператора через порушення вимог ергономіки і може бути компенсовано

шляхом скорочення часу зміни, або використання ще одного оператора, що

дуже часто застосовується на практиці.

Таким чином, результати, приведені в табл. 4.1 показують, що вітчизняні енергозасоби конструктивно-компонувальної схеми близької до інтегральної (за

розташуванням поста керування, розміром коліс тощо) найменш придатні до використання на реверсі у складі збиральних агрегатів (значення $K=0,38$ та $0,40$

для ХТЗ-17022 та ХТЗ-17221 відповідно) порівняно з енергозасобами класичної конструктивно-компонувальної схеми закордонного виробництва (значення

$K=0,80$ та $0,94$ для машин класичної конструктивно-компонувальної схеми

виробництва Massey Ferguson (MF) та Fendt відповідно). Енергозасоби виробництва ЧМЗ та МТЗ, за умови роботи на реверсії, характеризуються значеннями коефіцієнта оглядовості, на рівні 0,56 та 0,66 відповідно, що істотно нижче аналогічних показників для машин закордонного виробництва такої ж компонувальної схеми [10].

4.2. Результати дослідження впливу вильоту тонких візування на точність руху просапного агрегату

4.2.1. Перевірка розподілів результатів експериментальних даних на погодженість з нормальним законом розподілу

У табл. 4.1 наведені основні показники отримані під час первинної обробки

результатів полігонних випробувань точності руху просапного агрегату в складі трактора Т-150К і культиватора КРН-8,4. У першому рядку таблиці наведена нумерація восьми дослідів, передбачених матрицею планування експериментів. У стовпцях, які відповідають кожному з восьми дослідів, в кодованому вигляді записані значення керованих факторів, якими є швидкість руху агрегату, довжина хвилі гармонічної кривої і стан коригувального пристрою. Нижче, в кожному зі

ствовищів, наведено початкові моменти розподілу, отримані в чотирьох повторностях (нумерація повторностей зверху вниз). В кінці таблиці наведені результати первинної обробки даних, що включають значення квадрата коефіцієнта асиметрії і ексцесу, отримані в повторностях, і їх усереднене значення з СКВ, а також теоретичні значення цих величин для закону нормального розподілу.

Найбільший розкид даних отримано в другому досліді (за швидкості руху 1,52 м/с, довжині хвилі гармонічної кривої 21 м і включеному коригувальному пристрої). У цьому досліді інтервальні оцінки величин β_1 і

β_2 , справедливі з ймовірністю довіри 95%, мають такі значення:

$$\beta_{1M} = 0,39 \pm 1,04;$$

$$\beta_{2M} = 3,36 \pm 1,24$$

де $1,04$ і $1,24$ - інтервали довіри для усереднених значень відповідно квадрата коефіцієнта асиметрії і ексцесу.

Аналіз отриманих інтервальних оцінок величин β_1 і β_2 спільно з їх теоретичними значеннями для кожного з відомих законів розподілу дозволив висунути гіпотезу про близькість розподілу результатів другого досліду до нормального закону розподілу.

НУБІП України

НУБІП України

НУБІП України

НУБІП України

НУБІП України

НУБІП України

Таблиця 4.1.

НУБІП України

Результати первинної обробки даних полігонних випробувань точності руху просапного агрегату (відхилення траєкторії руху робочого органу культиватора від базисної гармонічної кривої)

Показник	Значення (в дослідах №№1-8)								
	1	2	3	4	5	6	7	8	9
Керовані фактори:									
- швидкість руху,	-	-	-	+	+	+	-	+	
- довжина хвилі гармонічної кривої, T	-	-	+	-	+	-	+	+	
відстань від точки візуування, l_a	+	-	○○	-	+	+	+	+	
Початкові моменти розподілу (за чотирма повгорностями в кожному досліді):									
M_1 , см	45,91	103,42	36,74	41,88	48,45	43,93	49,23	47,55	
	50,72	42,61	34,88	38,89	42,63	59,23	48,61	50,69	
	48,16	55,12	35,75	37,18	42,13	50,50	49,23	48,99	
	49,50	58,44	35,37	39,40	43,33	51,01	49,87	49,01	
	50,47	25,63	39,03	86,05	46,85	53,72	49,46	9,61	
	40,92	32,38	15,86	79,05	20,60	112,09	21,06	19,85	
	45,14	27,99	14,01	77,13	23,50	68,12	29,17	10,11	
	48,20	21,15	16,23	78,80	22,14	63,33	21,08	10,53	

НУБІП України

Продовження таблиці 4.1.

НУБІП	1	2	3	4	5	6	7	8	9
<i>M₃, см³</i>	-139,05	-128,97	74,65	-297,66	-188,62	30,52	-98,51	2,91	
	-114,92	-37,04	-5,37	-269,65	76,70	158,24	26,39	-27,33	
	-123,04	-58,17	23,16	-270,05	-51,25	80,70	13,10	1,13	
	-122,63	-60,14	1,42	-149,13	-13,12	80,40	12,69	-5,73	
<i>M₄, см⁴</i>	6666	2743	3418	15957	6309	6393	6055	277	
	4739	1940	868	93623	1406	27032	967	954	
	4809	2890	600	16419	287	12269	2449	347	
	6156	4679	1031	14002	1461	13992	1400	307	
Квадрат коефіцієнта асиметрії, β_1									
	0,15	0,99	0,094	0,14	0,03	0,006	0,080	0,009	
- в кожній з чотирьох повторностей	0,18	0,04	0,007	0,15	0,67	0,018	0,038	0,095	
	0,16	0,15	0,190	0,16	0,20	0,021	0,007	0,002	
	0,18	0,38	0,001	0,05	0,92	0,025	0,017	0,028	
- середнє значення	0,17	0,39	0,073	0,12	0,31	0,02	0,04	0,03	
	0,76	1,04	0,57	0,34	0,95	0,40	0,48	0,45	
- 95-відсотковий інтервал довіри середнього значення (\pm)	0	0	0	0	0	0	0	0	
теоретичне значення для нормального розподілу									

НУБІП України

Продовження таблиці 4.1.

НУБІП України	1	2	3	4	5	6	7	8	9
Ексцес,	β_2								
- в кожній з чотирьох повторностей		2,62	4,17	2,24	2,15	2,87	2,08	2,47	3,00
		2,83	1,85	3,45	2,18	3,31	2,15	2,18	2,42
		2,36	3,69	3,06	2,76	2,33	2,64	2,88	3,39
- середнє значення		2,78	3,74	3,91	2,25	2,98	3,49	3,15	2,77
- 95-відсотковий інтервал довіри середнього значення (\pm)		2,65	3,36	3,16	2,34	2,87	2,57	2,67	2,89
- теоретичне значення для нормального розподілу		1,24	1,24	1,24	1,24	1,24	1,24	1,24	1,24
НУБІП України		3,00	3,00	3,00	3,00	3,00	3,00	3,00	3,00

НУБІП України

НУБІП України

Аналогічний аналіз, проведений для інших дослідів плану експериментів, представленого в табл. 4.1, також дозволив висунути гіпотези про близькість розподілу їх результатів до нормальногого закону розподілу.

Подібний аналіз, проведений для всіх без винятку вибірок у всіх названих серіях дослідів дозволив, з імовірністю довіри 95%, висунути гіпотези про близькість їх законів розподілу до нормального.

4.2.2. Результати полігонних випробувань з визначення передавальної

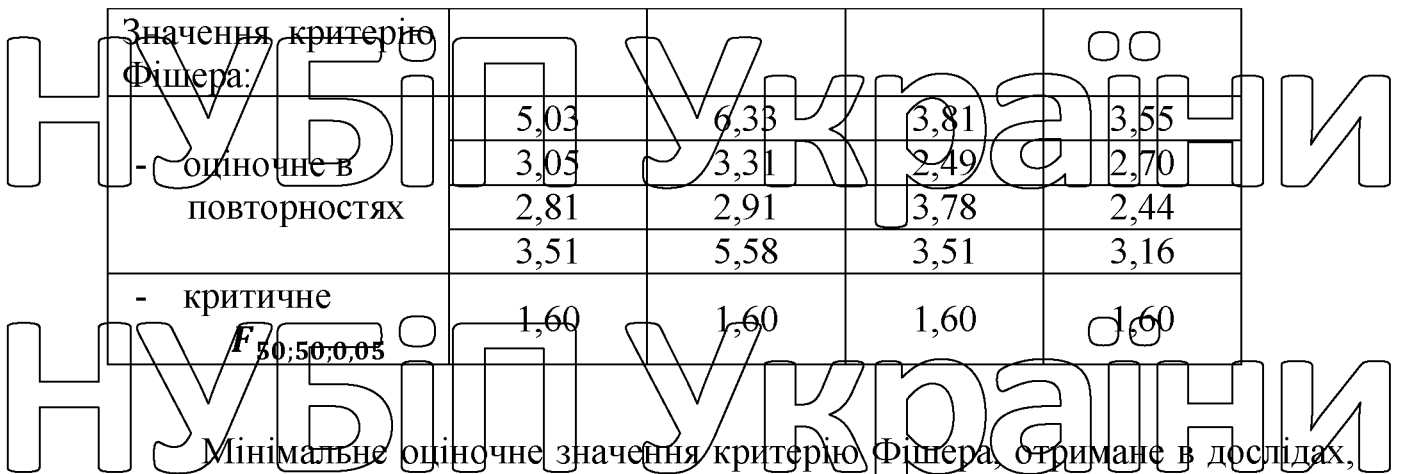
функції підсилювальної ланки

У табл. 4.2 наведені показники, що характеризують якість копіювання траєкторії щупа робочим органом культиватора залежно від вильоту точки візуування при одних і тих же поєднаннях двох інших керованих факторів - V_i та T .

Таблиця 4.4.

Показники, які характеризують похибку копіювання робочим органом

ПОКАЗНИК	значення (в дослідах №№ 1 - 8)							
	1	2	3	4	5	6	7	8
Керовані фактори: V_i T a	-	-	-	-	+	+	+	+
Дисперсія помилки копіювання, см^2	16,79	3,34	20,45	3,23	20,87	5,47	17,38	4,90
оцінена в повторностях	17,91	5,88	17,97	5,42	16,25	6,52	16,66	6,91
	12,41	4,42	11,27	3,87	22,51	5,95	13,30	5,44
	19,56	5,57	23,37	4,19	17,14	4,89	15,67	4,92



Мінімальне оціночне значення критерію Фішера, отримане в дослідах, що відрізняються тільки станом коригувального пристрою складає 2,44 при критичному його значенні, взятому при імовірності довіри 95%, рівному 1,60.

Це говорить про те, що вибірки дисперсій, які досліджуються і порівнюються, належать до різних генеральним сукупностей або, іншими словами, що увімкнення коригувального пристрою чинить статистично значимий вплив на точність руху агрегату.

Подальша обробка отриманих результатів дослідження дисперсії помилки копіювання робочим органом культиватора траєкторії орієнтованої кривої привело до отримання рівняння регресії (з статистично значущими на рівні 5% коефіцієнтами):

$$D = 11,36 - 6,2 \cdot l_a \quad (4.1)$$

де D - дисперсія помилки копіювання робочим органом культиватора

траєкторії щупа, см^2 ;

l_a - відстань точки візуування (-1 – 2,5 м; -1 – 4,0 м).
Дві інші незалежні змінні - швидкість руху і довжина хвилі гармонічної кривої - виявилися статистично незначущими і в рівняння регресії не увійшли.

З отриманого рівняння регресії випливає, що, незалежно від швидкості

руху агрегату і довжини хвилі гармонічної кривої, зменшення вільоту точки візуування забезпечує зменшення дисперсії помилки копіювання робочим

органом культиватора траекторії щупа на 71% (від 17,5 см² при збільшенному вильоті до 5,1 см², при зменшенному). Таким чином встановлено, що при зменшенні вильоту точки візуування взаємні відхилення робочого органу культиватора і орієнтуючої лінії зменшуються. Це призводить до поліпшення якості копіювання опорної траекторії культиватором.

4.3. Висновки з розділу

1. Показники оглядовості з робочого місця оператора мобільного енергетичного засобу мають наступні значення: MF-7246 (зернозбиральний комбайни) – 0,86; Holmer Terra Dos T3 (бурякозбиральний комбайн) – 0,89; ХТЗ-17221 – 0,39 (штатний рух) та 0,40 (реверсивний рух); МТЗ-1522В – 0,40 (штатний рух) та 0,66 (реверсивний рух); Fendt 926 Vario – 0,49 (штатний рух) та 0,94 (реверсивний рух); ПМЗ-8285 – 0,60 (штатний рух) та 0,56 (реверсивний рух).

2. Вітчизняні енергозасоби конструктивно-компонувальної схеми близької до інтегральної (за розташуванням поста керування, розміром коліс тощо) найменш придатні до використання на реверсі у складі збиральних агрегатів (значення $K=0,38$ та 0,40 для ХТЗ-17022 та ХТЗ-17221 відповідно)

порівняно з енергозасобами класичної конструктивно-компонувальної схеми закордонного виробництва (значення $K=0,80$ та 0,94 для машин класичної конструктивно-компонувальної схеми виробництва Massey Ferguson (MF) та Fendt відповідно). Енергозасоби виробництва ПМЗ та МТЗ, за умови роботи

на реверсі, характеризуються значеннями коефіцієнта оглядовості, на рівні 0,56 та 0,66 відповідно, що істотно нижче аналогічних показників для машин закордонного виробництва такої ж компонувальної схеми.

3. Незалежно від швидкості руху агрегату довжини хвилі гармонічної кривої, зменшення вильоту точки візуування забезпечує зменшення дисперсії помилки копіювання робочим органом культиватора траекторії щупа на 71% (від 17,5 см² при збільшенному вильоті до 5,1 см², при зменшенному).

ЗАГАЛЬНІ ВИСНОВКИ

1. З метою зниження собівартості продукції сільського господарства потрібно розширити сферу використання мобільних енергетичних засобів за рахунок використання їх у складі збиральних агрегатів.

2. Оглядовість з поста керування енергозасобу повинна забезпечуватись в зоні окресленій кутом нахилу променя зору оператора 15° від горизонтальної лінії, яка проходить через точку відліку (очі оператора).

3. Побудована передавальна агрегату за помилкою копіювання і сформульована вимога до точності руху агрегату відносно рядків рослин, сутність якої полягає в тому, що різниця модуля передавальної функції просапного агрегату за помилкою копіювання і відносного значення допустимої амплітуди помилки копіювання рядка не повинна мати негативних значень.

4. Для трактора тягового класу 3 (ХТЗ-170, ХТЗ-161, Т-150К тощо), де розташування очей оператора знаходиться на висоті h , що перевищує 2 м від рівня опорної поверхні, точка візуування може перебувати на відстані la від переднього моста, що дорівнює 2,5 ... 8 м. Насправді ж відстань точки візуування становить 3,5 ... 4 м.

5. Точність руху просапного агрегату з трактором типу Т-150К, але з передніми керованими колесами, підвищується при зменшенні відносного вильоту робочого органу від 1 до мінус 1. Так, при відносному вильоті, що дорівнює 1, агрегат задовільно працює в зоні хвильових чисел гармонійних складових викривлень рядків рослин, що обробляються від 0 до 0,33 рад/м; при вильоті, що дорівнює мінус одиниця - від 0 до ∞ .

6. Показники оглядовості з робочого місця оператора мобільного енергетичного засобу мають наступні значення: MF-7246 (зернозбиральний комбайн) – 0,86; Holmer Terra Dos T3 (бурякозбиральний комбайн) – 0,89; ХТЗ-17221 – 0,39 (штатний рух) та 0,40 (реверсивний рух); МТЗ-1522В – 0,40 (штатний рух) та 0,66 (реверсивний рух); Fendt-926 Vario – 0,49 (штатний рух).

та 0,94 (реверсивний рух); ПМЗ-8285 – 0,60 (штатний рух) та 0,56 (реверсивний рух).

7. Вітчизняні енергозасоби конструктивно-компонувальної схеми близької до інтегральної найменш придатні до використання на реверсі у складі збиральних агрегатів (значення $K=0,38$ та $0,40$ для ХТЗ-17022 та ХТЗ-

17221 відповідно), порівняно з енергозасобами класичної конструктивно-компонувальної схеми закордонного виробництва (значення $K=0,80$ та $0,94$ для машин класичної конструктивно-компонувальної схеми виробництва

Massey Ferguson (MF) та Fendt відповідно). Енергозасоби виробництва ПМЗ та

МТЗ, за умови роботи на реверсі, характеризуються значеннями коефіцієнта

оглядовості, на рівні 0,56 та 0,66 відповідно, що істотно нижче аналогічних показників для машин закордонного виробництва таої ж компонувальної

схеми

8. Незалежно від швидкості руху агрегату і довжини хвилі гармонічної кривої, зменшення вильоту точки візуування забезпечує зменшення дисперсії помилки копіювання робочим органом культиватора тракторії щупа на 71% (від $17,5 \text{ см}^2$ при збільшенному вильоті до $5,1 \text{ см}^2$, при зменшенному).

НУБІП України

НУБІП України

НУБІП України

СПИСОК ВИКОРИСТАНОЇ ЛІТЕРАТУРИ

НУБІЙ України

1. Автомобили и тракторы. Основы эргономики и дизайна: Учебник для студентов вузов / И.С. Степанов, А.Н. Евграфов, А.Л. Карунин, В.В. Ломакин, В.М. Шарипов; Под общ. Ред. В.М. Шарипова. – М.: МГТУ «МАМИ», 2002. –

230 с.

2. Аруин А.С. Эргономическая биомеханика / А.С. Аруин, В.М. Зациорский. - М.: Машиностроение, 1988 - 256 с. ил.

3. АБЕГАУЗ Г.Г. Справочник по вероятностным расчетам / Г.Г. Абегауз, А.Н. Тронь, Ю.Н. Коженкин, И.А. Коровина. - М.: Воениздат, 1970. - 536 с.

4. АВЕРЬЯНОВ С.Н. Определение угла складывания колесного тракторного агрегата, имеющего трактор с шарнирно-сочлененной рамой / С.Н. Аверьянов // Динамика колесно-гусеничных машин. - Волгоград; Б.И., 1977. - С. 118 - 125.

5. АГРОТЕХНИЧЕСКИЕ требования на 12-рядный культиватор для междурядной обработки высокостебельных культур / Сборник агротехнических требований на тракторы и с.-х. машины. - М.: ЦНИИТЭЙ Союзсельхозтехника, 1975. - Т. XXI. - С. 91 - 93.

6. АНТОНЕНКОВ В.Н. Повышение точности вождения машинно-тракторного агрегата в процессе междурядной обработки сахарной свеклы: автореф. дис. канд. техн. наук / В.Н. Антоненков. - Харьков, 1991. - 18 с.

7. АНТЫШЕВ Н.М. Анализ возможностей использования тракторов общего назначения на возделывании пропашных культур / Н.М. Антышев, Б.И. Пейсахович, Н.И. Бычков // Тр. ВИМ. - 1982. - Т. 92. - С. 36-49.

8. А. с. 1532408 СССР, МКИ⁴ В62D63/02. Шарнирно-сочлененный трактор / Г.В. Шкаровский, С.П. Пожидаев (СССР). - N4281054/27-11 (114313); Заявлено 10.07.87; Опубл. 1989, Бюл. №48 // Открытия, Изобретения.

- 1989. - № 48.

9. БАЕВ И.В. Обоснование параметров агрегатирования и режима движения трехмачинных полунаавесных агрегатов с трактором Т-150 на

посеве и на междурядной обработке пропашных культур: автореф. дис. канд.

техн. наук / И.В. Баев. - Харьков, 1989. - 16 с.

10. БОКЛАГ В.М. Анализ общей устойчивости шарнирно-сочлененных

колесных машин: дис. канд. техн. наук / Боклаг В.М.- Харьков, 1964. -200 с.

11. БОКЛАГ В.М. Поворот тягача с шарнирной рамой / В.М. Боклаг //

Тракторы и сельхозмашины, - 1963. - №1. - С. 1-13.

12. БОЛЬШЕВ Л.Н. Таблицы математической статистики / Л.Н.

Большев, Н.В. Смирнов. - [3-е изд.]. - М.: Наука, 1983. - 416 с.

13. ВИНОГРАДОВ К.Н. Обоснование параметров и конструкции

универсально-пропашного трактора повышенной эффективности / К.Н.

Виноградов, А.С. Дурманов, Н.И. Кисилев, В.А. Овчаров, А.М. Плясов. -

Воронеж: Изд-во ВГУ, 1978. - 164 с.

14. ВОЗНЯК В.К. Исследование устойчивости движения и управляемо-

сти машинно-тракторного агрегата при междурядной обработке

пропашных культур на повышенных скоростях (в условиях Ставропольского

края): автореф. дис. канд. техн. наук / В.К. Возняк. - Ставрополь, 1970. - 25 с.

27. ВОРОБЬЕВ Л.И. О расстановке рабочих органов навесных машин /

Л.И. Воробьев, Г.К. Чирва // Сельскохозяйственная машина, - 1939. - №10-11.

С. 17-20.

15. ВОЛОХА М.П. Технологичний комплекс машин для виробництва

буряків цукрових: ширина міжрядь. Теорія, моделювання, результати

випробувань [монографія] / М.П. Волоха. - К.: Центр учебової літератури, 2015.

- 220 с.

16. ГЛУХОВСКИЙ В.С. Системы автождения культиваторов - в

производство / В.С. Глуховский, В.М. Паламарчук, В.П. Грубый / Сахарная

свекла. - 1986. - N 5. - С. 20 - 22.

17. ГОСТ 12.2.019-2015 Система стандартов безопасности труда (ССБТ).

Тракторы и машины самоходные сельскохозяйственные. Общие требования

безопасности (с Поправкой) / Межгосударственный стандарт. Дата введения

2017-07-01

18. ГОРЕЛИКОВ Б.Е. К вопросу об устойчивости прямолинейного движения пахотного агрегата на базе трактора К-701 / С.Б.Е. Гореликов, В.В. Дубина // Записки ЛСХИ. - 1972. - Т.198. - С. 34-37.

19. ДАВІАН С.М. Исследование и обоснование основных параметров широкорядного хлопкового культиватора: автореф. дис. канд. техн. наук / С.М.

Давіан. - Харьков, 1968а, - 23 с.

20. ДВОРЦОВ Е.Ф. Исследование факторов, определяющих точность копировки ряда хлопчатника рабочими органами навесных агрегатов: дис. канд. техн. наук / Дворцов Е.Ф.. - М., 1959. - 139 с.

21. ДЕРЕПАСКИН А. И. Влияние узкозахватных мелиоративных орудий на кинематику движения колесного трактора с шарнирно-сочлененной рамой / А.И. Дерепаскин // Вопросы механизации с.-х. пр-ва Сев. Казахстана. - Алма-Ата: Б.И. - 1979. - С. 104 - 111.

22. ДИЯТЯН Н.А. Исследование криволинейного движения шарнирно-сочлененного трактора К-700 с учетом внутренних свойств широкопрофильных шин: автореф. дис. канд. техн. наук / Н.А. Диляян. - М., 1971. - 22 с.

23. ДОСПЕХОВ Б.А. Методика полевого опыта (с основами статистической обработки результатов исследований) / Б.А. Доспехов. - [5-е

изд., доп. и перераб.] - М.: Агропромиздат, 1985. - 351 с.

24. ЕВСТРАТОВ А.М., ТАМИРОВ М.Л. Автоматизация вождения мобильных с.-х. агрегатов / А.М. Евстратов, М.Л. Тамиров. - М.: Россельхозиздат, 1982. - 77 с.

25. ЕВТЕНКО В.Г. Устойчивость и тягово-энергетические показатели широкозахватных пропашных агрегатов / В.Г. Евтенко, Н.А. Кривошея // Механизация и электрификация сел. хоз-ва. - К.: Урожай, 1977. - Вып.40. - С. 30 - 35.

26. ЕСІПОВ О.В. Оцінка стійкості руху машинно-тракторного агрегату на міжрядній обробці просапніх культур / О.В. Есіпов, С.О. Полященко, М.Л. Шуляк.

27. ЖИГАН В.І. Високопродуктивні широкозахватні агрегати / В.І. Жиган // Механізація сільського господарства. - 1980. - №11. - С. 8-9.

28. ЗАЙДЕЛЬ А.Н. Ошибки измерений физических величин / А.Н. Зайдель. - Л.: Наука, 1974. - 108 с.

29. ЗАКС Л. Статистическое оценивание / Л. Закс; перевод с нем. В.Н. Варыгина. - М.: Статистика, 1976. - 598 с.

30. ЗЕНИН Л.С. Отклонение траекторий работах органов / Л.С. Зенин, Ф.С. Любимов, Х.С. Шандыров и др. // Тракторы и сельхозмашины. - 1976. - №8. - С. 22 - 24.

31. ЗИЛЬБЕРНАГЕЛЬ В.В. К вопросу о кинематике неустановившегося поворота шарнирно-сочлененного трактора / В.В. Зильбернагель, Л.Б. Гевелев // Труды Омского СХИ. - 1973. - Т. 114. - С. 18 - 20.

32. ИЗЫСКАНИЕ научно обоснованных схем агрегатирования, обеспечивающих применение колесных тракторов класса 3 с комбинированной системой управления на возделывании пропашных культур и разработка рекомендаций по их использованию и составу набора машин. Отчет о НИР / Всесоюзный институт механизации сельского хозяйства (ВИМ); Руководитель А. Я. Поляк; № ГР 01850052947; Инв. №02860339627. - М., 1985.

- 123 с.

33. КАТАЛОГ деталей и сборочных единиц трактора Т-150К. - Харьков: Пропор, 1975. - 232 с.

34. КАШУРКО А.С., СИНЯКОВ В.А. Точность слежения при автовождении агрегата с навесным орудием / А.С. Кашурко, В.А. Синяков // Тр. УкрНИИСХОМ. - М.: ВИСХОМ, 1988. - 93 с.

35. КЛЕЙН Ю.К. Колесные тракторы как объекты управления / Ю.К. Клейн // Тр. НАТИ. - 1972. - Вып. 219. - С. 28 - 39

36. Кутъков Г.М. О технологических свойствах мобильных энергетических средств / Г.М. Кутъков // Праці Таврійської державної агротехнічної академії. Наукове фахове видання. Випуск 40. Мелітополь. 2006. - С. 140-148.

37. КЛЕЙН Ю.К. О следящем приводе в системах автоматического
вождения тракторов / Ю.К. Клейн, Е.Н. Фалеева, С.Б. Шипилевский //
Механизация и электрификация сел. хоз-ва. - 1975. - № 9. - С. 42-43.

38. КОНОВАЛОВ В.Ф. Устойчивость и управляемость машинно-трак-
торных агрегатов / В.Ф. Коновалов. - Пермь: Б.И., 1969. - 444 с.

39. КУТЬКОВ Г.М. Исследование МЭС в составе широкозахватных
МТА на возделывании пропашных культур / Г.М. Кутьков, В.Д. Черепухин,
В.Т. Надыкто и др. // Тракторы и с.-х. машины. - 1992. - №10-12. - С. 8-10.

40. ЛИТИНСКИЙ С.А. Исследование некоторых способов автоматиза-
ции вождения тракторов с.-х. назначения: автореф. дис. канд. техн. наук / С.А.
Литинский. - М., 1960. - 23 с.

41. ЛУРЬЕ А.Б. Статистическая динамика с.-х. агрегатов / А.Б. Лурье. -
Л.: Колос, 1970. - 376 с.

42. Либцис С.Е., Шаповалов Ю.С., Дехтерева В.К. Тенденции развития
компоновочных схем и основных параметров сельскохозяйственных
тракторов за рубежом: Обзорная информ / С.Е. Либцис, Ю.С. Шаповалов, В.К.
Дехтерева // Сер. 1. Тракторы и двигатели. - М.: ЦНИИТЭИ
тракторосельхозмаш, 1989. Вып. 3. - 90 с, 20 ил.

43. ЛЬЮИС К.Д. Методы прогнозирования экономических показателей
/ К.Д. Льюис; перевод с англ. И предисл. Е.З. Демиденко - М.: Финансы и
статистика, 1986. - 133 с.

44. МАЛИНОВСКИЙ Е.Ю., ГАЙЦГОРИ М.Н. Динамика самоходных
машин с шарнирной рамой: Колебания и устойчивость движения / Е.Ю.

Малиновский, М.Н. Гайцгори. - М.: Машиностроение, 1974. - 176 с.

45. МИТРОПАН Д.М. Исследование кинематики и динамики поворота
шарнирно-сочлененных колесных тракторов: дис. канд. техн. наук / Митропан
Д.М.. - Харьков, 1968. - 241 с.

46. МОДЕЛИРОВАНИЕ систем управления с.-х. машин / Вопросы с.-х.
механики. - Минск: Ураджай, 1981. - 172 с.

47. НОРТИВНО-СПРАВОЧНЫЙ материал для экономической оценки
с.-х техники: Приложение к ГОСТ 23728-79 - ГОСТ 23730-79: ЦНИИЭСИ,
1984. - 328 с.

48. НОРМЫ И НОРМАТИВЫ для планирования механизации и
электрификации в отраслях АПК / Сост.: М.В. Шахмаев, В.Й.Юркин. - М.:

Агропромиздат, 1988. - 591 с.

49. ОРМАНДЖИ К.С. Правила производства механизированных работ
под пропашные культуры / К.С. Орманджи. - М.: Россельхозиздат, 1980. - 206
с.

50. ОУЭН ДБ Сборник статистических таблиц / Д.Б. Оуэн пер. с англ. -

М.: ВЦ АН СССР, 1966. - 586 с.

51. ПАТ. 2273978 Российская Федерация, МКИ⁷ A01B 69/00, A01G

25/06, Способ автоматического вождения сельскохозяйственного агрегата в
междурядьях пропашных культур при капельном орошении [Текст] /
ЕРМАКОВ Вячеслав Михайлович (RU), ЕРМАКОВ Михаил Вячеславович
(RU), ЦИЛЯХОВ Виктор Александрович (RU); заявитель и патентообладатель
Государственное научное учреждение Всероссийский научно-
исследовательский институт орошаемого овощеводства и бахчеводства (ГНУ

ВНИИОБ) (RU). № 2003117839/12; заявл. 16.06.2003 ; опубл. 20.04.2006,
Бюл. № 11 – 6 с.. ил.

52. ПАТ. 2361381 Российская Федерация, МКИ⁷ A01B 69/00, A01D

41/127, A01D89/00, A01B77/00, A01C7/00, Способ и система автоматического
управления сельскохозяйственной машиной, уборочная машина и машина для
обработки почвы [Текст] / ХОФЕР Юрген (DE), БОННЕР Манфред
(DE), ФРАЙХЕЛЬ Торстен (DE); заявитель и патентообладатель ДИР ЭНД
КОМПАНИ (US). – № 2004132543/12; заявл. 05.11.2004 ; опубл. 20.07.2009,
Бюл. № 20 – 21 с.: ил.

53. ПАТ. 2404561 Российская Федерация, МКИ⁷ A01B 69/08. Способ
вождения пропашного агрегата и трактор для его осуществления [Текст]

Черняков Ю.Ф.; заявитель и патентообладатель Черняков Юрий Феликсович.
№ 2009127634/11; заявл. 17.07.2009; опубл. 27.11.2010, Бюл. № 33 – 6 с.: ил.
54. ПАТ. 2430499 Российская Федерация, МКИ⁷ A01B 69/00, В60L 9/00.

Способ и устройство управления движением мобильного агрегата при выполнении агропроцессов [Текст] / Стребков Д.С., Королев В.А., Башилов А.М., Некрасов А.И., Суляев С.А., Трубников В.З.; заявитель и патентообладатель (ГНУ ВИЭСХ Россельхозакадемии). – № 2010110302/21; заявл. 18.03.2010 ; опубл. 10.10.2011, Бюл. № 28 – 22 с.: ил.

55. ПАТ. 2485744 Российской Федерации, МКИ⁷ A01B69/00. Устройство для вождения почвообрабатывающего орудия по рядкам растений [Текст] / Бросалин В.Г., Манаенков К.А., Попов О.А., Федулев А.В.; заявитель и патентообладатель ФГБОУ ВПО «Мичуринский государственный аграрный университет». – № 2011143342/13; заявл. 26.10.2011 ; опубл. 27.06.2013, Бюл.

№ 18 – 8 с.: ил.
56. ПАТ. 8794 Україна, МКИ⁷ A01B 9/00, A01B 13/16, Сільськогосподарський агрегат [Текст] / ЛІХОВАБА Юрій Васильович (UA), ПОЛУШКІН Олексій Володимирович (UA), Журавльов Григорій Павлович (UA), АНГЕЛОВ Віталій Миколайович (UA); заявник і

патентовласник Український науко-дослідний інститут сільськогосподарського машинобудування (УКРНДІСГОМ) (UA). – № 4715294/UA; заявл. 04.07.1989 ; опубл. 30.09.1996, Бюл. № 3 – 4 с.: ил.

57. ПЕЙСАХОВИЧ Б.И. Обоснование выбора трактора общего назначения для возделывания пропашных культур / Б.И. Пейсахович // НТВ ВИМ.- 1985. - Вып. 62. - С. 3-6.

58. ПЕЙСАХОВИЧ Б.И. Обоснование эффективности расширения междуурядий для прохода тракторов / Б.И. Пейсахович // НТВ ВИМ.- 1987. - Вып. 67. - С. 5-9.

59. ПЕТРОВ Г.Д. Возделывание пропашных культур с единой уширенной базовой колеей / Г.Д. Петров, В.А. Хвостов // Механизация и электрификация сел. хоз-ва. - 1984. - №2. - С. 44-46.

60. ПЕТРОВ Е.В. Тракторы Т-150К на возделывании пропашных культур / Е.В. Петров, Е.В. Борисов // Техника в сел. хоз.-ве. - 1986. - №8. - С. 34-35.

61. Погорілій Л.В. Сучасні проблеми землеробської механіки і машинознавства при створенні сільськогосподарської техніки нового покоління / Л.В. Погорілій // Техніка АПК. - 2004. - №1-2. - С. 6-7.

62. ПОЖИДАЕВ С.П. Дослідження копювания рядків просапних культур начіпним агрегатом / С.П. Пожидаєв // Вісник с.-г. науки. - 1980. - №2. - С. 54-58.

63. ПОЖИДАЕВ С.П. Про деякі спрощені методи складання рівнянь непрямолінійного руху колісної самохідної машини / С.П. Пожидаєв // Вісник с.-г. науки. - 1981. - №7. - С. 41-45.

64. ПОЖИДАЕВ С. П. Обоснование способа повышения точности движения пропашного агрегата с трактором Т-150К: дис. канд. техн. наук / С.П. Пожидаев. - Глеваха, 1984. - 222 с.

65. ПОЛЯК А.Я. Эксплуатация машинно-тракторных агрегатов на повышенных скоростях / А.Я. Поляк, А.Д. Шупак - [2-е изд., перераб. и доп.] - М.: Колос, 1974. - 304 с.

66. ПОЛЯК А.Я. Конструктивные особенности комбинированной системы управления трактором Т-150К и возможные схемы его агрегатирования / А.Я. Поляк, В.А. Русанов, В.Я. Хохлин и др. // Тр. ВИМ. - 1978. - Т. 81. - С. 95-103.

67. ПОЛЯК А.Я. Комбинированная система управления на тракторе Т-150К / А.Я. Поляк, В.А. Русанов, А.Н. Садовников и др // Механизация и электрификация соц. сел. хоз.-ва. - 1981. - №11. - С. 31-34.

68. ПОЛЯК А.Я. Тракторы общего назначения на возделывании пропашных культур / А.Я. Поляк, Н.М. Антышев, Б.И. Пейсахович. - М.: Росагропромиздат, 1989. - 140 с.

69. ПРАВИЛА производства механизированных работ под пропашные культуры / Сост. К.С. Орманджий. [2-е изд., перераб. и доп.] - М.: Россельхозиздат, 1986. - 303 с.

70. РОКАР И. Неустойчивость в механике: Автомобили. Самолеты.

Висячие мосты / И. Рокар; пер. с фр. - М.: Изд-во иностр. лит., 1959. - 288 с.

71. РУМШИССКИЙ Л.З. Математическая обработка результатов эксперимента / Л.З. Румшицкий. - М.: Наука, 1971. - 192 с.

72. СААКЯН Д.Н. Система показателей комплексной оценки мобильных машин / Д.Н. Саакян. - М. - Агропромиздат, 1988. - 415 с.

73. СВІТОВІ тенденції розвитку мобільної енергетики та їх прогноз для України на початок ХХІ століття / В.Г. Світенко, Л.В. Погорілій, Л.Г. Гром-Мазнічевський, Г.В. Шкарівський, Ю.М. Благодатний, О.М. Сидоренко; за ред. Л.В. Погорілого. - К.: «Сільгоспосвіта», 1997. - 68 с.

74. СЕЛЬСКОХОЗЯЙСТВЕННЫЕ машины и орудия Германии. Технический обзор / Под ред. Л.А. Корбут и С.В. Чусикова. - Берлин, 1947. - С. 213-224.

75. СЕРГЕЕВ В.И. Динамика навесного пропашного культиватора на повышенных скоростях: дис. канд. техн. наук / В.И. Сергеев. - Л.; Пушкин,

1970. - 168 с.

76. СИНЕОКОВ Г.Н. Теория и расчет почвообрабатывающих машин / Г.Н. Синеоков, И.М. Панов. - М.: Машиностроение, 1977. - 328 с.

77. СОЛОХА М. Автоматичне керування культиваторами для міжрядного обробітку ґрунту просапних культур / М. Солоха // Пропозиція. —

2016. — № 12. — С. 162-165.

78. СТАТИСТИЧНИЙ щорічник України за 1994 рік / Міністерство статистики України: Відповідальний за випуск В.В. Самченко. - К.: Техніка, 1995. - 519 с.

79. СТРИЖЕВ В.А. Определение некоторых кинематических параметров при движении пахотного агрегата на повороте / В.А. Стрижев // Тр. ЧИМЭСХ. - 1978. Вып. 135. С. 32-35.

80. СУЧАСНІ тенденції розвитку конструкцій сільськогосподарської техніки / за ред. В.І. Кравчука, М.І. Грицишина, С.М. Ковала. - К.: Аграрна наука, 2004. - 396 с.

81. ТИМОШЕНКО В.Я. К вопросу устойчивости трактора Т-150К на вспашке торфяников / В.Я. Тимошенко // Тр. БСХА. - 1979. - Вып. 62. - С. 12-

15.

82. Трактор ХТЗ-16131. Инструкция по эксплуатации. - Харьков: ОАО «Харьковский тракторный завод им. С. Орджоникидзе» – 1999. – 177 с.

83. Тракторы ХТЗ-17021, ХТЗ-16131, ХТЗ-121, Т-151К. Инструкция по эксплуатации и техническому обслуживанию – Харьков: ОАО «Харьковский тракторный завод». - 2001.- 344 с.

84. ТИШИН Б.М. Исследование управляемости колесного трактора 4×4 с шарнирной рамой на повороте (на примере К-700): автореф. дис. канд. техн. наук / Б.М. Тишин. - Л.; Пушкин, 1971. - 18 с.

85. ТОКАРЕВ В.А. Пути повышения производительности агрегатов при возделывании пропашных культур / В.А. Токарев, А.Г. Соловейчик // Тр. ВИМ. – 1975. – Т.67. – С. 116-133.

86. ФОРТУНА В.И. Научные основы устойчивости качественных показателей технологических процессов, выполняемых мобильными машинно-тракторными агрегатами: автореф. дис. докт. техн. наук / Фортунा В.И. - Саратов, 1971а. - 65 с.

87. ФОРТУНА В.И. Основы устойчивости качественных показателей технологических процессов, выполняемых мобильными машинно-тракторными агрегатами. / В.И. Фортуне // Тр. Волгоградского СХИ. - 1971б. - Т. 39. - С. 129-208.

88. ХВОСТОВ В.А. Динамика самоходного трехосного агрегата для пропашных культур / В.А. Хвостов, Н.В. Позов // Тракторы и с.-х. машины. -

1978. - С. 32-33.

89. ЧЕРНОВ Г.Я. Экспериментальная установка для исследования управляемости и энергетических показателей трактора Т-150К / Г.Я. Чернов, М.Ф. Мурашкевич, Н.И. Дудко и др. // Тр. БСХА. - 1976. - Вып. 9. - С. 138-142.

90. ЧЕРНОВ Г.Я. К вопросу об управляемости тракторов с шарнирно-сочлененной рамой / Г.Я. Чернов // Тр. БСХА. - 1976, - Вып. 9.- С. 142-145.

91. ЧОРНА Т.С. Обґрунтування схеми та параметрів посівного агрегату на базі орно-просапного трактора [Текст] : автореф. дис. канд. техн. наук : 05.05.11 : Таврійський державний агротехнологічний

університет Міністерства аграрної політики України. - Мелітополь., 2010. -

16с.

92. ЧОРНА Т.С. Обґрунтування схеми та параметрів посівного агрегату на базі орно-просапного трактора [Текст] : дис. канд. техн. наук : 05.05.11 : захищена 12.11.10 : затв. 12.11.10 / Чорна Тетяна Сергіївна. - Мелітополь., 2010. - 141 с.

93. ЧУДАКОВ Д.А. Основы теории с.х. навесных агрегатов / Д.А. Чудаков. - М.: Машгиз, 1954. - 175 с.

94. ШЕВЦОВ В.Г. Кинематический анализ управляемости элементов навесного МТА при обеспечении прямолинейного движения / В.Г. Шевцов //

Тр. ВИМ. - 1988. - № 16. - С. 70-78.

95. Шкарівський Г.В. Порівняльні дослідження точності руху просапних агрегатів з різними конструктивно-компонувальними схемами і параметрами / Г.В. Шкарівський, С.П. Пожидаєв // Механізація і електрифікація сіль. госп-ва / Міжвідомчий тематичний наук. збірник. - К.: Урожай, -1993. - Вип. 77. - С. 91-96.

96. Шкарівський Г.В. До визначення розміщення поста керування енергозасобу орно-збирального типу / Г.В. Шкарівський // Механізація та електрифікація сіль. госп-ва / Міжвідомчий тематичний наук. збірник. - К.: ЗАТ «Ей-Бі-Сі», - 2002. - Вип. 86. - С. 260-263.

97. Шкарівський Г.В. Обґрунтування місця розташування поста керування збирального агрегату на базі мобільного енергетичного засобу / Г.В.

Шкарівський, Р.Г. Шкарівський. - Науковий вісник НУБіП України. 2018. №282. С. 107-120. URL: <http://journals.nubip.edu.ua/index.php/Tekhnika/issue/view/441>

98. Шотиков А.В. Методика оценки параметров обзорности с.-х. тракторов и машин на стадии их проектирования / А.В. Шотиков, С.А. Кашуба // Тракторная энергетика в растениеводстве. Сборник науч. трудов ХДТУСГ - Харьков.: 1999. - С. 159-162.

99. Шотиков А.В. Оценка параметров обзорности с/х тракторов и машин на стадии испытаний / А.В. Шотиков, В.И. Шебанова. URL: http://www.rusnauka.com/7_NND_2009/Tecnic/42769.doc.htm. (дата звернення: 22.01.2021).

100. Шкарівський Г.В. Використання просадних агрегатів на базі колісного трактора тягового класу 3: [монографія] Г.В. Шкарівський. –К.: ЦП «КОМПРИНТ», 2017. 405 с.

101. ШКАРІВСЬКИЙ Г.В. Порівняльні дослідження точності руху просадних агрегатів з різними конструктивно-компонувальними схемами і параметрами / Г.В. Шкарівський, С.П. Пожидаєв // Механізація і електрифікація сіль госп-ва / Міжвідомчий тематичний наук. збірник. - К.: Урожай, -1993, - Вип. 77. - С. 91-96.

102. ШКАРІВСЬКИЙ Г.В. До визначення розміщення поста керування енергозасобу орно-збирального типу / Г.В. Шкарівський // Механізація та електрифікація сіль госп-ва / Міжвідомчий тематичний наук. збірник. - К.: ЗАТ «Ей-Бі-Сі», - 2002, - Вип. 86. - С. 260-263.

103. ШКАРІВСЬКИЙ Г.В. До питання оцінювання адекватності результатів наукових досліджень / Г.В. Шкарівський, Р.Г. Шкарівський // Праці Таврійської державної агротехнічної академії.– Мелітополь: ТДАТА, 2007. – Вип. 7. – С.212-221.

104. ШОТИКОВ А.В. Методика оценки параметров обзорности с.-х. тракторов и машин на стадии их проектирования / А.В. Шотиков, С.А. Кашуба

// Тракторная энергетика в растениеводстве. Сборник науч. трудов ХДТУСГ -
Харьков. 1999. - С.159-162.
105. ЭЛИС Д.Р. Управляемость автомобиля / Д.Р. Элис; пер. с англ. - М.:
Машиностроение, 1975. - 216 с.

106. ЮШИН О.О. Про вибір конструкції потужного універсально-
просапного трактора / О.О. Юшин // Вісник с.-г. науки. - 1987. - №1. - С. 64-
68.
107. ЯРМАШЕВИЧ К.И. Кинематика колес трактора Т-150К при
повороте / К.И. Ярмашевич // Тр. БСХА. - 1979. - Вып. 62. - С. 3-7.

108. ЯРОВОЙ В.Т. Исследование бокового увода тракторных шин и его
влияние на некоторые показатели криволинейного движения агрегата: дис.
канд. техн. наук / В.Т. Яровой. - Харьков, 1970. - 197 с.

НУБІП України

НУБІП України

НУБІП України

НУБІП України